



**UNIVERSIDADE ESTADUAL DA PARAÍBA
CAMPUS PROFESSORA MARIA DA PENHA
CENTRO DE CIENCIAS TECNOLOGIA E SAÚDE
CURSO DE ENGENHARIA CIVIL**

SEBASTIÃO DE LIMA PIMENTA

**ANÁLISE NÃO LINEAR GEOMÉTRICA DE FLECHAS EM TRELIÇAS
METÁLICAS**

**ARARUNA - PB
2018**

SEBASTIÃO DE LIMA PIMENTA

**ANÁLISE NÃO LINEAR GEOMÉTRICA DE FLECHAS EM TRELIÇAS
METÁLICAS**

Trabalho de Conclusão de Curso apresentado
ao Programa de Graduação em Engenharia
Civil da Universidade Estadual da Paraíba,
como requisito parcial à obtenção do título de
Bacharel em Engenharia Civil.

Área de concentração: Estruturas.

Orientador: Prof. Me. Leonardo Medeiros da
Costa.

ARARUNA - PB
2018

É expressamente proibido a comercialização deste documento, tanto na forma impressa como eletrônica. Sua reprodução total ou parcial é permitida exclusivamente para fins acadêmicos e científicos, desde que na reprodução figure a identificação do autor, título, instituição e ano do trabalho.

P644a Pimenta, Sebastião de Lima.
Análise não linear geométrica de flechas em treliças metálicas [manuscrito] : / Sebastiao de Lima Pimenta. - 2018.
69 p. : il. colorido.

Digitado.

Trabalho de Conclusão de Curso (Graduação em Engenharia Civil) - Universidade Estadual da Paraíba, Centro de Ciências, Tecnologia e Saúde , 2018.

"Orientação : Prof. Me. Leonardo Medeiros da Costa. , Coordenação do Curso de Engenharia Civil - CCTS."

1. Análise Estrutural. 2. Programa Computacional. 3.
Engenharia estrutural.

21. ed. CDD 624.171

SEBASTIÃO DE LIMA PIMENTA

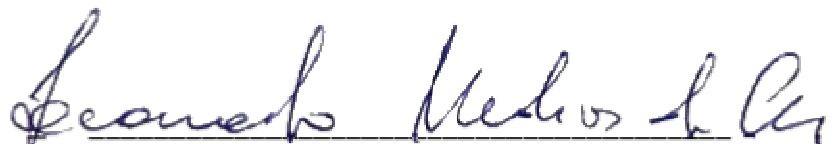
ANÁLISE NÃO LINEAR GEOMÉTRICA DE FLECHAS EM TRELIÇAS METÁLICAS

Trabalho de Conclusão de Curso apresentado
ao Programa de Graduação em Engenharia
Civil da Universidade Estadual da Paraíba,
como requisito parcial à obtenção do título de
Bacharel em Engenharia Civil.

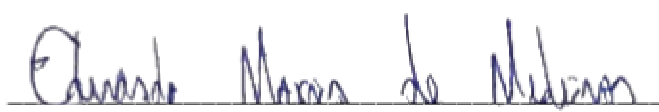
Área de concentração: Estruturas.

Aprovada em: 20/06/2018

BANCA EXAMINADORA



Leonardo Medeiros da Costa
Prof. Me. Leonardo Medeiros da Costa (Orientador)
Universidade Estadual da Paraíba (UEPB)



Eduardo Moraes de Medeiros
Prof. Me. Eduardo Moraes de Medeiros
Universidade Estadual da Paraíba (UEPB)



Pedro Filipe de Luna Cunha
Doutorando Pedro Filipe de Luna Cunha
Universidade de Brasília (UNB)

A minha mãe, pelo apoio e o incentivo, DEDICO

AGRADECIMENTOS

Primeiramente à minha família que sempre me apoiou nos meus estudos.

Ao professor Leonardo Medeiros, pela orientação, por sempre estar à disposição para esclarecimento de duvidas e por ser um excelente profissional.

Ao professor Pedro Filipe, pela ajuda no entendimento do Método dos Elementos Finitos e por ser um ótimo professor.

Ao meu amigo Erveton Victor e ao professor Rafael de Brito, pelo incentivo à aprender programação.

Aos funcionários da UEPB, pela presteza e atendimento quando nos foi necessário.

Aos meus amigos Felipe Alves, Francisco Ramon e Roberto Paixão, componentes da BRAVOS, por sempre me incluírem nos grupos de trabalho e principalmente pela amizade.

Aos amigos que mudaram de universidade André Vieira e Inaldo Neto, que deixavam toda a turma mais alegre.

E por fim aos colegas de classe, por todos os momentos de descontração em forma de jogos, por todas as risadas e pelos melhores amigos que se pode encontrar.

RESUMO

A não linearidade geométrica consiste na determinação dos esforços e deslocamentos de uma estrutura levando em consideração o estado deformado da estrutura após aplicação de cargas, e portanto, as equações de equilíbrio devem ser reformuladas para cada uma dessas alterações. O presente trabalho, neste sentido, se propôs a elaborar um software capaz de analisar as flechas de uma estrutura do tipo treliça, implementando as mudanças de geometria a cada passo de carga aplicada. Para a realização dos cálculos foi utilizado o Método dos Elementos Finitos e o algoritmo foi escrito na linguagem de programação Python. Com os resultados obtidos no software, intitulado de SATE, e através do SAP2000 versão 15, constatou-se que a abordagem mais simplificada da não linearidade geométrica implementada no SATE, se aproxima bastante dos resultados do SAP2000 à medida que se diminui o incremento de carga. Os resultados mostram que o nó com maior divergência entre os softwares caiu de 5,61% para 1,89% quando se alterou o número de passos de carga, de dois para cem passos.

Palavras-Chave: Análise Não Linear. Análise Estrutural. Treliças Metálicas. Programa Computacional.

ABSTRACT

Geometric non-linearity consists of the analysis of a structure taking into account the deformed state of the structure after load application, and therefore, the equilibrium equations must be reformulated for each of these changes. The present work, in this sense, has proposed to elaborate a software capable of analyzing the arrows of a structure of the truss type, implementing the changes of geometry to each parcel of applied load. In order to perform the calculations, the Finite Element Method was used and the coding of the software was done using the Python programming language. With the results obtained in the software, titled SATE, and results obtained through SAP2000, it was found that the more simplified approach of geometric non-linearity implemented in SATE, closely approximates the results of SAP2000 as the number of applications increases of load. The results show that the node with the greatest divergence between the software dropped from 5.61% to 1.89% when the number of load applications was changed from two to one hundred parcels.

Keywords: Structural analysis. Metallic Trusses. Computational Program.

LISTA DE ILUSTRAÇÕES

Figura 3.1 - Treliça com dois graus de liberdade	14
Figura 3.2 - Equilíbrio do nó C	17
Figura 3.3 - Termos k ₁₁ e k ₂₁ da matriz de rigidez da treliça.....	19
Figura 3.4 - Termos 12 e k ₂₂ da matriz de rigidez da treliça.....	19
Figura 3.5 – (a) Forças no nó C para d ₁ =1 e (b) Forças no nó C para d ₂ =1	21
Figura 3.6 – Alongamento da barra tracionada	23
Figura 3.7 – Trajetória de equilíbrio.....	25
Figura 4.1 - Treliça Howe.....	28
Figura 4.2 - Fluxograma da Metodologia Utilizada	29
Figura 5.1- Interface gráfica do SATE	30
Figura 5.2 - Deformada da estrutura no SAP2000 para P = 3kN	31
Figura 5.3 - Deformada da estrutura no SAP2000 para P = 10kN	31
Figura 5.4 - Deformada da estrutura no SAP2000 para P = 100kN	31
Figura 5.5 - Modelagem a treliça Howe no SATE com carga de 3kN.....	32
Figura 5.6 - Modelagem a treliça Howe no SATE com carga de 10kN.....	32
Figura 5.7 - Modelagem a treliça Howe no SATE com carga de 100kN.....	32
Figura 5.8 - Deformada da estrutura pelo SATE para P = 3kN.....	33
Figura 5.9 - Deformada da estrutura pelo SATE para P = 10kN	33
Figura 5.10 - Deformada da estrutura pelo SATE para P = 100kN.....	33
Figura 5.11 - Deformada da estrutura pelo SATE com dois incrementos para P = 3kN	36
Figura 5.12 - Deformada da estrutura pelo SATE com dois incrementos para P = 10kN	37
Figura 5.13 - Deformada da estrutura pelo SATE com dois incrementos para P = 100kN	37
Figura 5.14 - Deformada da estrutura pelo SATE com dez incrementos para P = 3kN.....	38
Figura 5.15 - Deformada da estrutura pelo SATE com dez incrementos para P = 10kN.....	39
Figura 5.16 - Deformada da estrutura pelo SATE com dez incrementos para P = 100kN.....	39
Figura 5.17 - Deformada da estrutura pelo SATE com cem incrementos para P = 3kN	40
Figura 5.18 - Deformada da estrutura pelo SATE com cem incrementos para P = 10kN	41
Figura 5.19 - Deformada da estrutura pelo SATE com cem incrementos para P = 100kN	41

Figura 5.20 – Deformada da estrutura pela análise não linear do SAP2000 para P = 3kN..... 42

Figura 5.21 - Deformada da estrutura pela análise não linear do SAP2000 para P = 10kN 43

Figura 5.22 - Deformada da estrutura pela análise não linear do SAP2000 para P = 100kN .. 43

LISTA DE QUADROS

Quadro 5.1 - Diferença percentual entre as flechas dos softwares para P = 3kN.....	34
Quadro 5.2 - Diferença percentual entre as flechas dos softwares para P = 10kN.....	34
Quadro 5.3 - Diferença percentual entre as flechas dos softwares para P = 100kN.....	35
Quadro 5.4 - Valores de flechas do SATE para dois incrementos	37
Quadro 5.5 - Valores de flechas do SATE para dez incrementos	39
Quadro 5.6 - Valores de flechas do SATE para cem incrementos	41
Quadro 5.7 - Valores de flechas não lineares do SAP2000.....	43
Quadro 5.8 - Eficiência do SATE em relação ao SAP2000 para P = 3kN.....	44
Quadro 5.9 - Eficiência do SATE em relação ao SAP2000 para P = 10kN.....	45
Quadro 5.10 - Eficiência do SATE em relação ao SAP2000 para P = 100kN.....	46
Quadro 5.11 - Comparaçao entre flechas lineares e não lineares do SATE para P = 3kN.....	47
Quadro 5.12 - Comparaçao entre flechas lineares e não lineares do SATE para P = 10kN.....	48
Quadro 5.13 - Comparaçao entre flechas lineares e não lineares do SATE para P = 100kN...	48
Quadro 5.14 - Comparaçao entre flechas lineares e não lineares do SAP2000.....	49

SUMÁRIO

1	INTRODUÇÃO.....	11
2	OBJETIVOS.....	12
2.1	OBJETIVO GERAL	12
2.2	OBJETIVOS ESPECÍFICOS.....	12
3	FUNDAMENTAÇÃO TEÓRICA.....	13
3.1	METODO DOS ELEMENTOS FINITOS.....	13
3.1.1	Método básico (Demonstração de Vaz)	14
3.1.2	Método clássico (Demonstração de Vaz)	18
3.1.3	Método da análise matricial	22
3.2	NÃO LINEARIDADE GEOMÉTRICA.....	24
4	METODOLOGIA	27
5	ANÁLISES E RESULTADOS	30
5.1	EFICIÊNCIA DA ANÁLISE LINEAR DO SATE	31
5.2	EFICIÊNCIA DA ANÁLISE NÃO LINEAR DO SATE	36
5.2.1	Aplicação de carga com dois incrementos	36
5.2.2	Aplicação de carga com dez incrementos	38
5.2.3	Aplicação de carga com cem incrementos	40
5.3	DIFERENÇA ENTRE FLECHAS LINEARES E NÃO LINEARES	47
6	CONCLUSÃO	51
	REFERÊNCIAS	52
	APÊNDICE A – CÓDIGO FONTE PRINCIPAL (SATE.PY).....	53
	APÊNDICE B – CÓDIGO FONTE AUXILIAR (ELEM_FINITOS.PY).....	68

1 INTRODUÇÃO

As treliças metálicas são largamente utilizadas como elementos de cobertura devido à elevada relação resistência/peso. Deste modo é possível viabilizar construções leves que vencem grandes vãos.

De acordo com Lacerda (2014), treliças podem ser definidas como um arranjo estável de barras delgadas interligadas, onde as conexões são articuladas e as barras são conectadas por pinos sem atrito de forma que nenhum momento possa ser transmitido por essa conexão. Essa é a definição de uma treliça ideal, as estruturas reais fogem dessa premissa, porém os esforços oriundos da ligação com mais de um pino e/ou com atrito são pequenos, e não determinantes no dimensionamento. Desta forma, as treliças caracterizam-se por serem um arranjo de barras que somente transmitem forças axiais, contudo as treliças ainda podem estar sujeitas a esforços cortantes e momentos fletores se estiverem submetidas à forças transversais ao longo do elemento.

Dentro desse contexto a análise das flechas em treliças se faz necessária para garantir sua estabilidade e atender requisitos normativos quanto ao Estado Limite de Serviço, porém uma análise linear que é a comumente feita em projetos estruturais, pode não ser satisfatória uma vez que pode ocorrer a não linearidade física e/ou geométrica.

Como Cunha (2017) fala em seu trabalho devido a influência da rigidez do elemento estrutural no seu funcionamento a análise não linear tem maior relevância em estruturas esbeltas, estas que estão sendo utilizadas com maior frequência, tanto por fatores econômicos, quanto por arquitetônicos. Dessa forma, demanda-se maiores conhecimentos sobre a não linearidade física e geométrica por parte do projetista.

Os efeitos da não linearidade geométrica podem ser bastante nocivos principalmente para edifícios de múltiplos pavimentos, onde as ações horizontais são mais intensas, como a ação do vento, provocando maiores mudanças na geometria por meio dos deslocamentos, interferindo significativamente no equilíbrio mecânico. (SILVA, 2014)

A principal consequência de uma análise não linear é o aumento da complexidade do problema, fazendo com seja inviável realização de uma solução analítica, nesse contexto, o uso de ferramentas computacionais e aproximações numéricas torna-se praticamente obrigatório

2 OBJETIVOS

2.1 OBJETIVO GERAL

O presente trabalho tem como objetivo desenvolver um software capaz de calcular flechas de treliças levando em consideração a não linearidade geométrica. O desenvolvimento da programação realiza-se com a linguagem Python com base no método dos elementos finitos, formulado a partir do método dos deslocamentos.

2.2 OBJETIVOS ESPECÍFICOS

- Verificar se o Método dos Elementos Finitos MEF foi bem aplicado, através de comparação com a análise linear realizada pelo SAP2000;
- Verificar se a abordagem simplificada da não linearidade geométrica foi bem aplicada, através de comparação com a análise não linear geométrica realizada pelo SAP2000;
- Comparar os valores obtidos na análise linear com os valores obtidos na análise não linear.

3 FUNDAMENTAÇÃO TEÓRICA

Para a melhor compreensão deste trabalho se faz necessário a revisão bibliográfica do método dos elementos finitos, assim como da análise não linear geométrica.

3.1 METODO DOS ELEMENTOS FINITOS

De acordo com Vaz (2011) o MEF, diferente da Teoria da Elasticidade, faz uso dos conceitos de “discretização” do continuo e de “Matriz de interpolação” que fornece os deslocamentos em um ponto no interior do elemento em função de seus deslocamentos nodais, esses deslocamentos nos nós do modelo representam as incógnitas do método, além disso, o termo discretização utilizado refere-se a um modelo com um número finito de incógnitas para a análise de meios contínuos. Já a Teoria da Elasticidade realiza suas análises com um número infinito de variáveis que usam funções contínuas, ou seja, com infinitas incógnitas como solução.

O MEF utilizado neste trabalho, como dito anteriormente, é pertencente à família do Método dos Deslocamentos, os membros dessa família são caracterizados por possuírem, como equação fundamental, a equação de equilíbrio cujas incógnitas são deslocamentos generalizados. O conceito de generalizado aqui mencionado refere-se a deslocamentos generalizados, grandezas cinemáticas, tais como, deslocamentos lineares, rotações etc.

Vaz (2011) diz ainda que os membros dessa família do MEF passaram por mudanças ao longo do tempo formando uma árvore genealógica, com novos métodos herdando características dos métodos mais antigos e sendo gerados a partir deles. Os novos membros sofrem algumas alterações que só são bem sucedidas se forem bem adaptadas às condições existentes. Um exemplo que Vaz (2011) cita é a Análise Matricial de Estruturas (AME) e o MEF, que só tiveram larga aceitação quando os computadores atingiram grau de desenvolvimento suficiente para realizar as operações de forma viável, mesmo o MEF surgido antes dessa fase.

A análise matricial é um dos métodos que são aplicados na análise computacional de flechas em estruturas. Em seu livro Vaz (2011) demonstra os métodos antecessores à análise matricial, esses métodos são o método básico e o método clássico. Antes de entrar no contexto

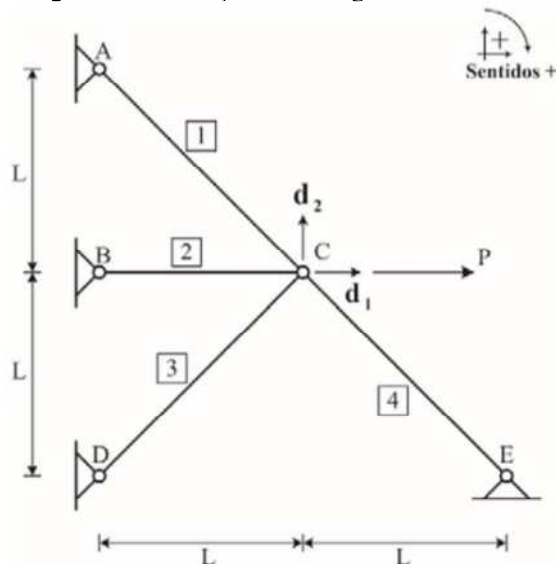
do método da análise matricial é importante explanar um pouco sobre esses dois métodos antecessores, tal explanação será feita através da demonstração realizada por Vaz (2011).

3.1.1 Método básico (Demonstração de Vaz)

O método básico mostra bem o conceito por trás do método dos elementos finitos, ele faz parte da família do método dos deslocamentos e seu processo consiste em manipular as três equações básicas da análise de estruturas (compatibilidade, de equilíbrio e constitutivas) de modo a colocar todas as informações disponíveis nas equações de equilíbrio com deslocamentos livres como incógnitas. O número de deslocamentos livres é chamado de grau de liberdade da estrutura.

Para melhor demonstrar o método básico faz-se uso da treliça na figura abaixo:

Figura 3.1 - Treliça com dois graus de liberdade



Fonte: Vaz (2011)

As equações de compatibilidade são aquelas que relacionam os deslocamentos nodais livres d_1 e d_2 na direção horizontal e vertical com alongamentos/encurtamentos δ_i das barras i . Os deslocamentos são supostos positivos com os sentidos indicados na Figura 3.1. Os alongamentos serão considerados positivos e os encurtamentos negativos. As expressões para

os δ_i das quatro barras são obtidas projetando-se os deslocamentos nodais nas direções das barras, assim:

$$\left\{ \begin{array}{l} \delta_1(d_1, d_2) = d_1 \frac{\sqrt{2}}{2} - d_2 \frac{\sqrt{2}}{2} \\ \delta_2(d_1, d_2) = d_1 \\ \delta_3(d_1, d_2) = d_1 \frac{\sqrt{2}}{2} + d_2 \frac{\sqrt{2}}{2} \\ \delta_4(d_1, d_2) = -d_1 \frac{\sqrt{2}}{2} + d_2 \frac{\sqrt{2}}{2} \end{array} \right. \quad (3.1)$$

A segunda equação de compatibilidade relaciona os alongamentos/encurtamentos das barras δ_i com as deformações longitudinais ε_i . Da resistência dos materiais:

$$\varepsilon_i = \frac{\delta_i}{L_i} \quad (3.2)$$

Como os comprimentos das barras são:

$$\left\{ \begin{array}{l} L_1 = L\sqrt{2} \\ L_2 = L \\ L_3 = L\sqrt{2} \\ L_4 = L\sqrt{2} \end{array} \right. \quad (3.3)$$

Chega-se a:

$$\left\{ \begin{array}{l} s_1(d_1, d_2) = \frac{d_1 \frac{\sqrt{2}}{2} - d_2 \frac{\sqrt{2}}{2}}{L\sqrt{2}} = \frac{1}{2L}(d_1 - d_2) \\ s_2(d_1, d_2) = \frac{d_1}{L} \\ s_3(d_1, d_2) = \frac{d_1 \frac{\sqrt{2}}{2} + d_2 \frac{\sqrt{2}}{2}}{L\sqrt{2}} = \frac{1}{2L}(d_1 + d_2) \\ s_4(d_1, d_2) = \frac{-d_1 \frac{\sqrt{2}}{2} + d_2 \frac{\sqrt{2}}{2}}{L\sqrt{2}} = \frac{1}{2L}(-d_1 + d_2) \end{array} \right. \quad (3.4)$$

Para efeito de simplificação, se utilizará a lei de Hooke, uma vez que ainda estamos tratando apenas do cálculo de uma flecha convencional. Assim, para cada barra, temos:

$$\sigma_i = E \varepsilon_i \quad (3.5)$$

Ou, em termos de esforços normais N_i ,

$$\frac{N_i}{A} = E \frac{\delta_i}{L_i} \quad (3.6)$$

Onde:

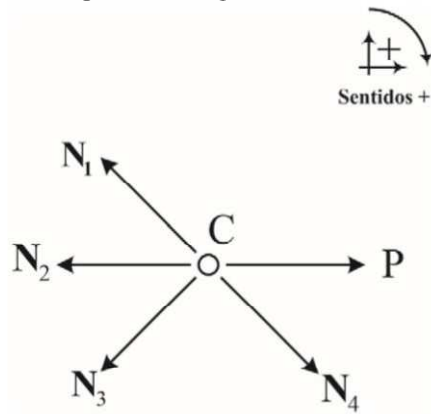
- E = módulo de elasticidade do material;
- A = área de seção transversal;
- N_i = esforço normal;
- L_i = comprimento da barra i .

É importante observar que tanto o módulo de elasticidade do material quanto a área da seção transversal são duas grandezas supostas constantes para todas as barras.

Substituindo-se para cada barra i , δ_i dado em (3.1) na equação (3.6), obtém-se:

$$\left\{ \begin{array}{l} N_1(d_1, d_2) = \frac{EA}{2L}(d_1 - d_2) \\ N_2(d_1, d_2) = \frac{EA d_1}{L} \\ N_3(d_1, d_2) = \frac{EA}{2L}(d_1 + d_2) \\ N_4(d_1, d_2) = \frac{EA}{2L}(-d_1 + d_2) \end{array} \right. \quad (3.7)$$

As equações de equilíbrio são obtidas para as direções horizontal e vertical no nó C. Os sentidos das forças axiais N_i que atuam nas barras i , são admitidos a princípio como de tração. Para se escrever as equações de equilíbrio, valem, no entanto, os sentidos indicados na Figura 3.2.

Figura 3.2 - Equilíbrio do nó C**Fonte:** Vaz (2011)

As equações de equilíbrio são:

- Na direção horizontal:

$$\sum F_h = 0; \quad -N_1 \frac{\sqrt{2}}{2} - N_2 + N_3 \frac{\sqrt{2}}{2} + N_4 \frac{\sqrt{2}}{2} + P = 0; \quad (3.8)$$

- Na direção vertical:

$$\sum F_v = 0; \quad N_1 \frac{\sqrt{2}}{2} - N_2 - N_3 \frac{\sqrt{2}}{2} - N_4 \frac{\sqrt{2}}{2} = 0; \quad (3.9)$$

Substituindo-se as expressões (3.7) em (3.9) e manipulando-as, obtém-se:

$$\begin{cases} \frac{2,061 E A}{L} d_1 - \frac{0,354 E A}{L} d_2 = P \\ -\frac{0,354 E A}{L} d_1 + \frac{1,061 E A}{L} d_2 = 0 \end{cases} \quad (3.10)$$

A expressão (3.10) é a equação fundamental do método dos deslocamentos para a análise da treliça plana da Figura 3.1. Matricialmente, ela pode ser reescrita como:

$$\frac{E A}{L} \begin{bmatrix} 2,061 & -0,354 \\ -0,354 & 1,061 \end{bmatrix} \begin{Bmatrix} d_1 \\ d_2 \end{Bmatrix} = \begin{Bmatrix} P \\ 0 \end{Bmatrix} \quad (3.11)$$

Cuja solução é:

$$\begin{Bmatrix} d_1 \\ d_2 \end{Bmatrix} = \frac{P L}{E A} \begin{Bmatrix} 0,515 \\ 0,171 \end{Bmatrix} \quad (3.12)$$

Com os deslocamentos d_1 e d_2 é possível obter agora todas as respostas da estrutura em termos de alongamento/encurtamento, na expressão (3.1), deformações, em (3.4), tensões, em (3.5), e esforços normais N_i , em (3.7). Tais valores estão indicados a seguir:

$$\begin{Bmatrix} \delta_1 \\ \delta_2 \\ \delta_3 \\ \delta_4 \end{Bmatrix} = \frac{P L}{E A} \begin{Bmatrix} +0,243 \\ +0,515 \\ +1,778 \\ -0,243 \end{Bmatrix} \quad (3.13)$$

$$\begin{Bmatrix} \epsilon_1 \\ \epsilon_2 \\ \epsilon_3 \\ \epsilon_4 \end{Bmatrix} = \frac{P}{E A} \begin{Bmatrix} +0,172 \\ +0,515 \\ +0,343 \\ -0,172 \end{Bmatrix} \quad (3.14)$$

$$\begin{Bmatrix} \sigma_1 \\ \sigma_2 \\ \sigma_3 \\ \sigma_4 \end{Bmatrix} = \frac{P}{A} \begin{Bmatrix} +0,172 \\ +0,515 \\ +0,343 \\ -0,172 \end{Bmatrix} \quad (3.15)$$

$$\begin{Bmatrix} N_1 \\ N_2 \\ N_3 \\ N_4 \end{Bmatrix} = P \begin{Bmatrix} +0,172 \\ +0,515 \\ +0,343 \\ -0,172 \end{Bmatrix} \quad (3.16)$$

3.1.2 Método clássico (Demonstração de Vaz)

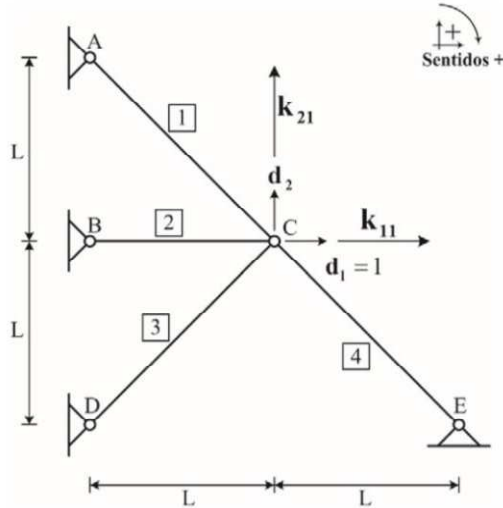
O método clássico é essencialmente o mesmo que o método básico. Sua contribuição foi no sentido de sistematizar, ou seja, organizar, ou ainda criar uma metodologia que possa ser aplicada da mesma forma a todas as estruturas.

O método utiliza conceitos de estados auxiliares e de superposição de efeitos. Onde se supõe um deslocamento de valor unitário na direção de cada um dos graus de liberdade. A força interna na direção i devido ao deslocamento unitário na direção do grau de liberdade d_j é chamada de coeficiente de rigidez k_{ij} .

Aplicando o método para um melhor esclarecimento, tem-se.

- Estado auxiliar 1, $d_1 = 1$.

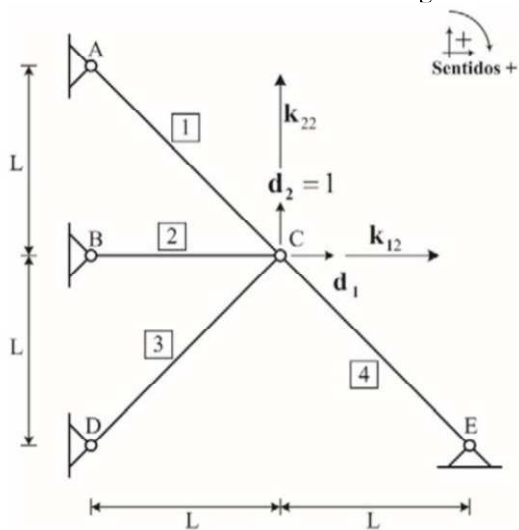
Figura 3.3 - Termos k_{11} e k_{21} da matriz de rigidez da treliça



Fonte: Vaz (2011)

- Estado auxiliar 2, $d_2 = 1$.

Figura 3.4 - Termos k_{12} e k_{22} da matriz de rigidez da treliça



Fonte: Vaz (2011)

Para se obter os coeficientes k_{ij} (força interna resultante na direção i devida a um deslocamento unitário na direção j) procede-se da seguinte maneira: inicialmente, calculam-se os alongamentos/encurtamentos das barras d_{ij} (alongamento/encurtamento na barra i devido a

um deslocamento unitário na direção do grau de liberdade d_j de forma análoga ao que foi feito para se obter os alongamentos/encurtamentos no método básico.

- Para o estado auxiliar 1.

$$\left\{ \begin{array}{l} \delta_{11} = \frac{\sqrt{2}}{2} \\ \delta_{21} = 1 \\ \delta_{31} = \frac{\sqrt{2}}{2} \\ \delta_{41} = \frac{-\sqrt{2}}{2} \end{array} \right. \quad (3.17)$$

- Para o estado auxiliar 2.

$$\left\{ \begin{array}{l} \delta_{12} = \frac{-\sqrt{2}}{2} \\ \delta_{22} = 0 \\ \delta_{32} = \frac{\sqrt{2}}{2} \\ \delta_{42} = \frac{\sqrt{2}}{2} \end{array} \right. \quad (3.18)$$

Utilizando-se a relação constitutiva é possível calcular os esforços normais nas barras N_{ij} (esforço normal na barra i devido a um deslocamento unitário na direção do grau de liberdade d_j) com uma expressão análoga a (3.6).

$$N_{ij} = E A \frac{\delta_{ij}}{L_i} \quad (3.19)$$

Assim:

- Para o estado auxiliar 1.

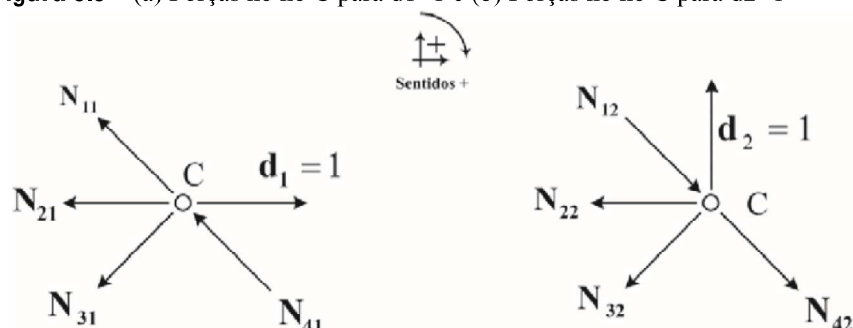
$$\left\{ \begin{array}{l} N_{11} = \frac{EA}{2L} \\ N_{21} = \frac{EA}{L} \\ N_{31} = \frac{EA}{2L} \\ N_{41} = -\frac{EA}{2L} \end{array} \right. \quad (3.20)$$

- Para o estado auxiliar 2.

$$\left\{ \begin{array}{l} N_{12} = -\frac{EA}{2L} \\ N_{22} = 0 \\ N_{32} = \frac{EA}{2L} \\ N_{42} = \frac{EA}{2L} \end{array} \right. \quad (3.21)$$

Os coeficientes de rigidez k_{ij} (esforço na direção i para um deslocamento unitário na direção j) são calculados utilizando-se as equações de equilíbrio no nó C. Assim, das equações de equilíbrio na direção horizontal e vertical da Figura 3.5, da correspondente a $d_1 = 1$ obtém-se, respectivamente, os coeficientes k_{11} e k_{21} .

Figura 3.5 – (a) Forças no nó C para $d_1=1$ e (b) Forças no nó C para $d_2=1$



Fonte: Vaz (2011)

- Para o estado auxiliar 1, Figura 3.5a.

$$\left\{ \begin{array}{l} k_{11} = 2,061 \frac{EA}{L} \\ k_{21} = -0,354 \frac{EA}{L} \end{array} \right. \quad (3.22)$$

- Para o estado auxiliar 2, Figura 3.5b.

$$\begin{cases} k_{12} = -0,354 \frac{EA}{L} \\ k_{22} = 1,061 \frac{EA}{L} \end{cases} \quad (3.23)$$

- O estado auxiliar 0, fornece:

$$\begin{cases} f_1 = P \\ f_2 = 0 \end{cases} \quad (3.24)$$

A superposição de efeitos, que deve garantir o equilíbrio das forças resistentes e aplicadas, pode agora ser escrita como:

$$\begin{bmatrix} k_{11} & k_{12} \\ k_{21} & k_{22} \end{bmatrix} \begin{Bmatrix} d_1 \\ d_2 \end{Bmatrix} = \begin{Bmatrix} f_1 \\ f_2 \end{Bmatrix} \quad (3.25)$$

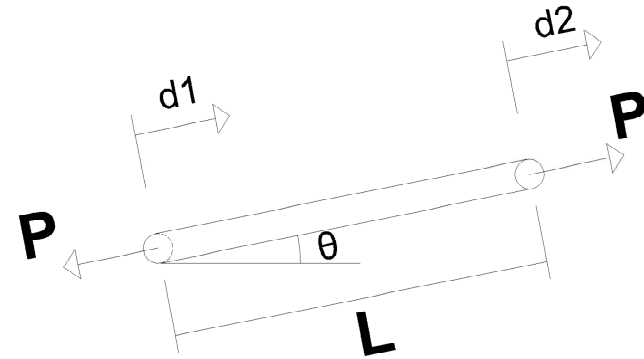
ou com os valores da estrutura sendo analisada:

$$\frac{EA}{L} \begin{bmatrix} 2,061 & -0,354 \\ -0,354 & 1,061 \end{bmatrix} \begin{Bmatrix} d_1 \\ d_2 \end{Bmatrix} = \begin{Bmatrix} P \\ 0 \end{Bmatrix}; \quad \begin{Bmatrix} d_1 \\ d_2 \end{Bmatrix} = \frac{PL}{EA} \begin{Bmatrix} 0,515 \\ 0,171 \end{Bmatrix} \quad (3.26)$$

A expressão (3.26) é idêntica à expressão (3.11), como não poderia deixar de ser. Desse modo, as respostas das estruturas obtidas pelo método básico, dadas pelas expressões de (3.12) a (3.16) serão as mesmas.

3.1.3 Método da análise matricial

Através da análise matricial foi possível sistematizar as operações matemáticas da análise de estruturas fazendo uso operações com vetores e matrizes. Toda essa sistematização se baseia na ideia de sistema local e sistema global de coordenadas.

Figura 3.6 – Alongamento da barra tracionada**Fonte:** Próprio

Para a barra estar em equilíbrio, temos:

$$P_1 = -A * \sigma \quad (3.27)$$

$$P_2 = A * \sigma \quad (3.28)$$

Utilizando (3.2) e (3.5) nas expressões (3.27) e (3.28), temos:

$$P_1 = -EA * \frac{d_2 - d_1}{L} \quad (3.29)$$

$$P_2 = EA * \frac{d_2 - d_1}{L} \quad (3.30)$$

Em forma matricial:

$$\frac{EA}{L} \begin{bmatrix} 1 & -1 \\ -1 & 1 \end{bmatrix} \begin{Bmatrix} d_1 \\ d_2 \end{Bmatrix} = \begin{Bmatrix} P_1 \\ P_2 \end{Bmatrix} \quad (3.31)$$

Os deslocamentos e forças podem ser decompostos no sistema de coordenadas globais x e y utilizando as seguintes equações:

$$d = d_x \cos \theta + d_y \sin \theta \quad (3.32)$$

$$P_x = P \cos \theta \quad (3.33)$$

$$P_y = P \sin \theta \quad (3.34)$$

Na forma matricial tem-se:

$$\begin{bmatrix} \cos \theta & \sin \theta & 0 & 0 \\ 0 & 0 & \cos \theta & \sin \theta \end{bmatrix} \begin{Bmatrix} d_{x1} \\ d_{y1} \\ d_{x2} \\ d_{y2} \end{Bmatrix} = \begin{Bmatrix} d_1 \\ d_2 \end{Bmatrix} \quad (3.35)$$

$$\begin{bmatrix} \cos \theta & 0 \\ \sin \theta & 0 \\ 0 & \cos \theta \\ 0 & \sin \theta \end{bmatrix} \begin{Bmatrix} P_{x1} \\ P_{y1} \\ P_{x2} \\ P_{y2} \end{Bmatrix} = \begin{Bmatrix} P_{x1} \\ P_{y1} \\ P_{x2} \\ P_{y2} \end{Bmatrix} \quad (3.36)$$

Substituindo (3.36) e (3.35) na equação (3.31), tem-se:

$$\begin{bmatrix} \cos\theta & 0 \\ \sin\theta & 0 \\ 0 & \cos\theta \\ 0 & \sin\theta \end{bmatrix} \frac{\mathbb{E}A}{L} \begin{bmatrix} 1 & -1 \\ -1 & 1 \end{bmatrix} \begin{bmatrix} \cos\theta & \sin\theta & 0 & 0 \\ 0 & 0 & \cos\theta & \sin\theta \end{bmatrix} \begin{Bmatrix} d_{x1} \\ d_{y1} \\ d_{x2} \\ d_{y2} \end{Bmatrix} = \begin{Bmatrix} P_{x1} \\ P_{y1} \\ P_{x2} \\ P_{y2} \end{Bmatrix} \quad (3.37)$$

$$\frac{\mathbb{E}A}{L} \begin{bmatrix} \cos^2\theta & \cos\theta\sin\theta & -\cos^2\theta & -\cos\theta\sin\theta \\ \cos\theta\sin\theta & \sin^2\theta & -\cos\theta\sin\theta & -\sin^2\theta \\ -\cos^2\theta & -\cos\theta\sin\theta & \cos^2\theta & \cos\theta\sin\theta \\ \cos\theta\sin\theta & -\sin^2\theta & \cos\theta\sin\theta & \sin^2\theta \end{bmatrix} \begin{Bmatrix} d_{x1} \\ d_{y1} \\ d_{x2} \\ d_{y2} \end{Bmatrix} = \begin{Bmatrix} P_{x1} \\ P_{y1} \\ P_{x2} \\ P_{y2} \end{Bmatrix} \quad (3.38)$$

A equação (3.38) é a que será implementada no sistema de cálculo de flechas através do método dos elementos finitos.

3.2 NÃO LINEARIDADE GEOMÉTRICA

Como Lacerda (2014) menciona em seu trabalho, a análise linear das estruturas supõe algumas condições utilizadas para simplificar o problema, essas condições também são chamadas de hipóteses simplificadoras. As principais hipóteses simplificadoras são:

- Os deslocamentos nodais são infinitesimalmente pequenos;
- O material é linearmente elástico;
- As condições de contorno não se modificam durante a aplicação das cargas.

Quando todas essas hipóteses são cumpridas diz-se que a estrutura tem comportamento linear, ou seja, existe uma proporcionalidade entre carga e deslocamento. Porém muitas vezes, antes mesmo do material perder sua linearidade física, os deslocamentos nodais aumentam até certo ponto onde não podem ser considerados tão insignificantes.

De acordo com Benjamin (1982), a não linearidade geométrica é relevante nos casos em que devido a grandeza dos deslocamentos surge a necessidade de se escreverem as equações de equilíbrio em relação a configuração deformada da estrutura.

A realização dessas análises não lineares podem ser mais importantes em determinadas ocasiões, como diz Pinto & Ramalho (2002), no projeto de edifícios altos deve-se atentar para o problema da não linearidade geométrica quando a estrutura é solicitada simultaneamente por carregamentos verticais e horizontais. Pois, o carregamento vertical agindo na estrutura deslocada pode ocasionar a manifestação de esforços adicionais capazes

de conduzi-la ao colapso, uma vez que a estrutura foi projetada levando em conta sua geometria inicial. Tais efeitos podem ser desprezados se a estrutura for rígida o suficiente, porém, em estruturas flexíveis, esses efeitos são bastante significativos devendo ser obrigatoriamente considerados. Desse modo, as estruturas podem ser classificadas em estruturas de nós móveis ou estruturas de nós fixos, conforme a importância dos efeitos de segunda ordem na análise.

O comportamento não linear é estudado muitas vezes fazendo uso da trajetória de equilíbrio ou caminho de equilíbrio, que consiste num gráfico que relaciona carga × deslocamento. Cada ponto ao longo dessa trajetória representa uma configuração de equilíbrio estático da estrutura, ou seja, ao ser solicitada por diferentes valores de carga, a estrutura obteve determinadas deformações e é deslocada antes de atingir o repouso, esses valores de carga e deslocamentos compõem a trajetória de equilíbrio. Se o gráfico resultante dessa relação for não linear, significa que a estrutura também tem comportamento não linear.

Figura 3.7 – Trajetória de equilíbrio



Fonte: Lacerda (2014)

Essa trajetória de equilíbrio descrita possui alguns pontos críticos que são interessantes de serem analisados. “Esses pontos são aqueles em que uma trajetória de equilíbrio atinge valores extremos ou aqueles em que diferentes caminhos de equilíbrio se encontram” (Souza 2015). De acordo com Lacerda (2014) existem dois tipos de pontos críticos, um desses tipos é o ponto de limite, que é um ponto de extremo (ponto de máximo ou mínimo) no gráfico, o outro tipo é o ponto de bifurcação que é o ponto no qual dois ou mais caminhos de equilíbrio

se cruzam. Lacerda (2014) diz ainda que quando a estrutura atinge um dos pontos críticos, ela pode se tornar instável, por isso, a identificação deles é de grande importância para um projeto de engenharia.

No presente trabalho não utiliza-se a trajetória de equilíbrio, o conceito de não linearidade geométrica usado aqui será o mais básico e característico, que foi mencionado varias vezes, a análise da estrutura já deformada, para isso se utilizará a força aplicada em passos.

4 METODOLOGIA

Para se cumprir os objetivos propostos para esse trabalho foi necessário a utilização de dois softwares, a linguagem de programação Python e a ferramenta de análise estrutural SAP2000 versão 15.

O Python foi utilizado para desenvolver toda interface gráfica e lógica operacional do programa proposto nos objetivos, dando atenção especial a construção de uma interface gráfica simples e intuitiva para melhor adaptabilidade do usuário a plataforma, além de utilizar os conceitos e fundamentos do método dos elementos finitos para realizar todos os cálculos necessários na obtenção das flechas de treliças planas.

O software proposto foi batizado de “SATE” (Software de Análise de Treliças por Etapas). Vale salientar que o SATE se limita apenas ao cálculo de flechas de treliças com cargas nodais, dessa forma o mesmo não leva em consideração o peso próprio ou qualquer outra carga fora dos nós.

Após o desenvolvimento do programa computacional, foram realizados os seguintes testes comparativos:

- Flechas calculadas utilizando o software desenvolvido e flechas calculadas através de análise linear utilizando o SAP2000;
- Flechas calculadas utilizando a análise não linear geométrica através do software desenvolvido e flechas calculadas através de análise não linear geométrica (P-Delta) utilizando o SAP2000.
- Treliças analisadas de forma linear e treliças analisadas com não linearidade geométrica;

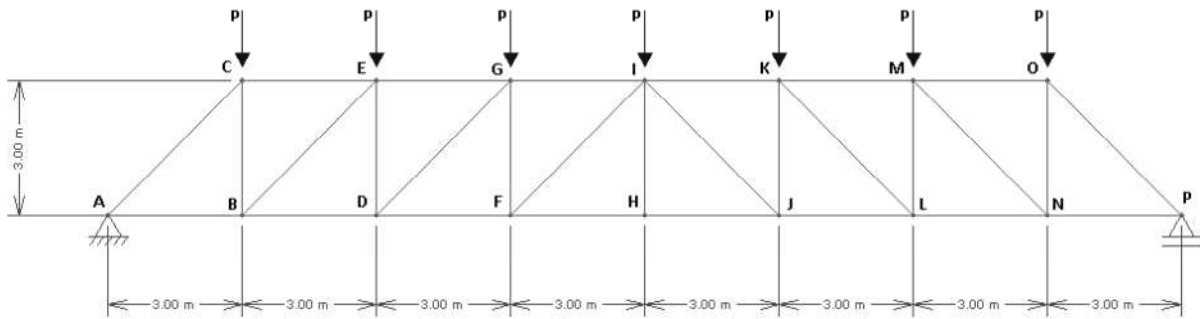
Foi necessária a adoção de uma treliça plana para servir como treliça base na realização das análises comparativas. As características e geometria da treliça adotada são:

- Treliça de aço com módulo de elasticidade igual a 200 GPa;
- Barras com seção de área igual a 1 cm² ou 0,0001 m²;
- A geometria da treliça será a de uma treliça Howe.

Para cada uma das análises comparativas mencionadas foram utilizadas três forças P diferentes, uma de 3kN, uma de 10kN e outra de 100kN. A carga de 3kN foi escolhida pois a flecha causada por ela está dentro dos limites de L/350, estabelecidos na NBR 8800:2008,

essa carga representa um carregamento mais próximo de um carreamento real. Já as cargas de 10 e 100 kN foram escolhidas para analisar o comportamento teórico da treliça quando submetida à grandes carregamentos.

Figura 4.1 - Treliça Howe



Fonte: Próprio

Já definidas as características da treliça base, essa foi primeiramente analisada de forma linear no SAP2000 para obtenção de flechas, e submetida às rotinas de cálculos programadas no software desenvolvido, a fim de se realizar a comparação entre os dois softwares através do erro percentual entre os métodos.

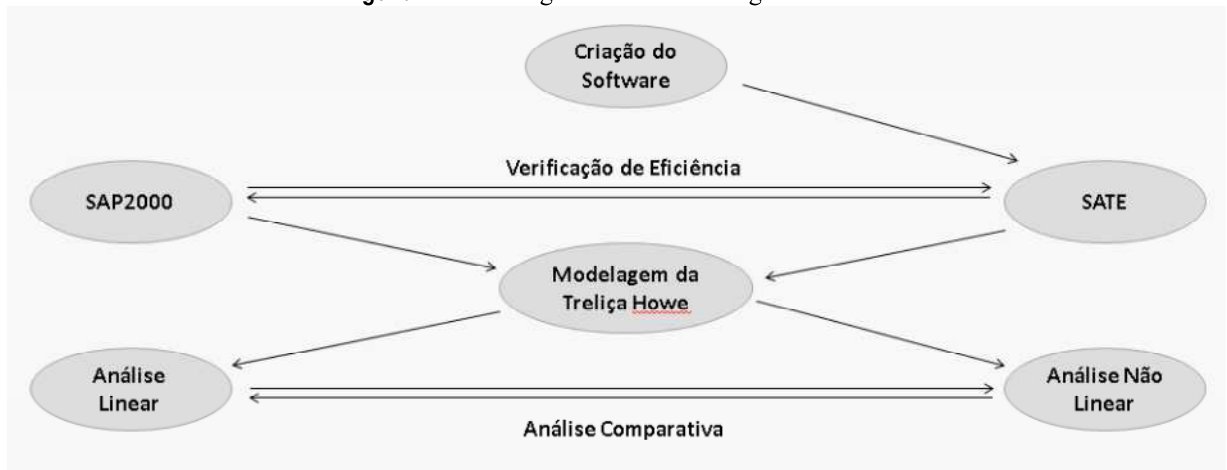
Para a realização da segunda análise comparativa primeiro foram expostos os valores obtidos no SATE, realizando a aplicação da força dividida em passos de 2, 10 e 100 vezes para cada uma das cargas. A variação no número de passos tem como finalidade visualizar o comportamento da estrutura com o aumento do número de aplicações. Em seguida foram exibidos os resultados obtidos com a análise não linear geométrica do SAP2000. Por fim foi feita a comparação entre os dois métodos para verificação da eficácia desse tipo análise.

A análise da treliça de forma não linear geométrica realizada no software proposto é realizada em incrementos de carga, ou seja, a força antes de ser aplicada será dividida em n passos, de forma que a cada aplicação de uma parcela da força a estrutura sofrerá alterações pelas deformações antes da aplicação da próxima parcela. Para que se possa definir o número de “etapas” em que a força será aplicada, foi colocado no programa desenvolvido um campo onde o usuário pode definir em quantas vezes a força será dividida.

A terceira análise comparativa é a análise entre as flechas obtidas de forma linear e as flechas obtidas de forma não linear geométrica, essa análise tem como objetivo verificar a quanto a não linearidade geométrica pode influenciar nos valores das flechas. Nesta análise os

valores de cada software foram analisados de forma separada, ou seja, as flechas lineares do SAP2000 foram comparadas com as flechas não lineares também do SAP2000, da mesma forma para o software desenvolvido. O fluxograma abaixo resume os procedimentos da metodologia.

Figura 4.2 - Fluxograma da Metodologia Utilizada



Fonte: Próprio

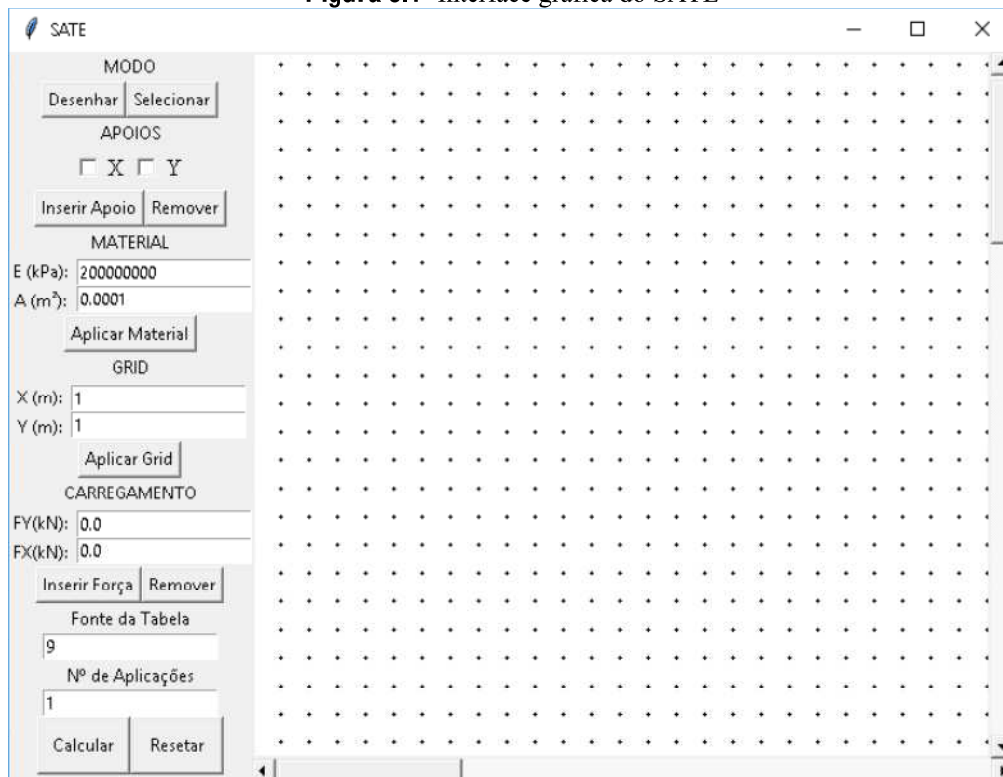
5 ANÁLISES E RESULTADOS

Seguindo os procedimentos mencionados na metodologia, o SATE foi desenvolvido através de dois códigos separados um deles, intitulado de “elem_finitos.py”, é responsável por todo o cálculo das flechas utilizando o método dos elementos finitos, já o outro código, intitulado de “SATE.py”, é a rotina principal responsável por toda a parte de interface gráfica, coleta dos dados, exibição dos resultados e integração com o algoritmo de cálculo já citado. Esses dois códigos são mostrados nos Apêndices A e B.

O SATE possui uma interface amigável e simplificada, com um grid que facilita o desenho da estrutura e o entendimento do usuário quanto à operação dessa ferramenta, além de ser esteticamente e funcionalmente bem similar a outros softwares desse tipo.

Após a modelagem da estrutura no SATE, o resultado é exibido em forma de gráfico e tabelas, onde para cada aplicação de incremento de força é traçado uma linha correspondente à deformação da estrutura. A figura abaixo mostra a interface do SATE.

Figura 5.1- Interface gráfica do SATE

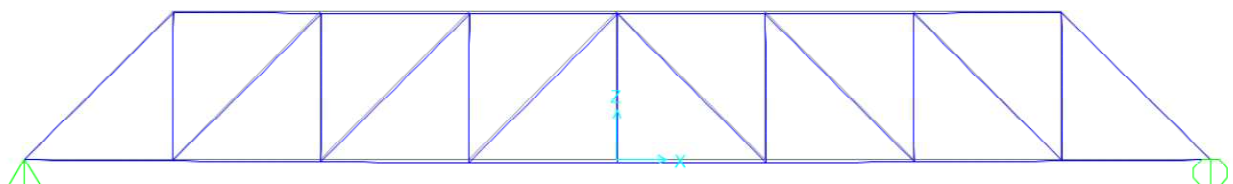


Fonte: Próprio

5.1 EFICIÊNCIA DA ANÁLISE LINEAR DO SATE

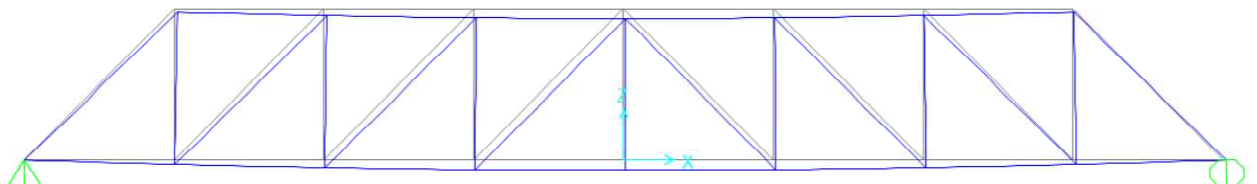
O início da análise de comparação da eficiência entre a ferramenta SAP2000 e o SATE deu-se com realização da análise linear da treliça Howe no SAP2000 para as cargas de 3, 10 e 100 kN. Os gráficos das flechas resultantes para cada uma das cargas são exibidos nas figuras abaixo.

Figura 5.2 - Deformada da estrutura no SAP2000 para $P = 3\text{kN}$



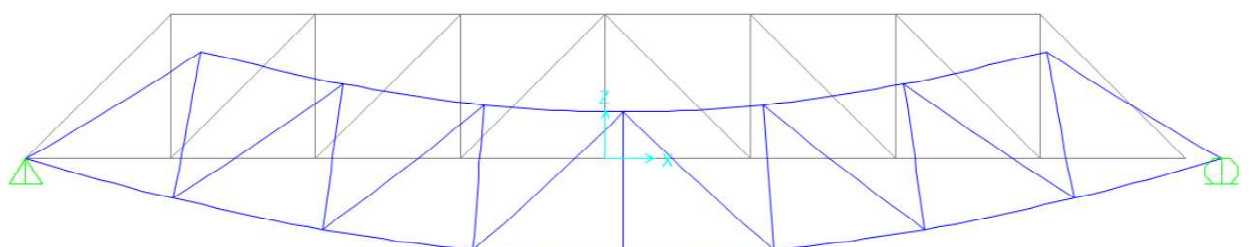
Fonte: SAP2000 V15

Figura 5.3 - Deformada da estrutura no SAP2000 para $P = 10\text{kN}$



Fonte: SAP2000 V15

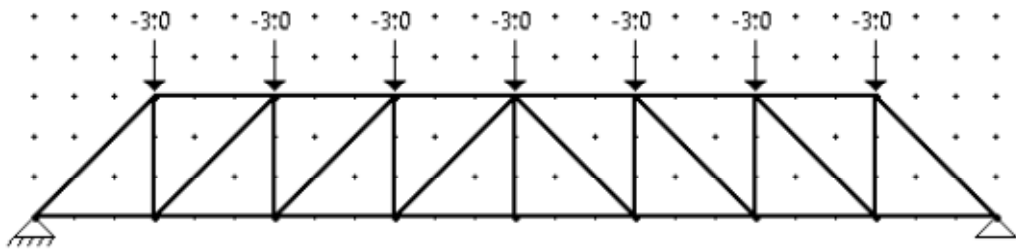
Figura 5.4 - Deformada da estrutura no SAP2000 para $P = 100\text{kN}$



Fonte: SAP2000 V15

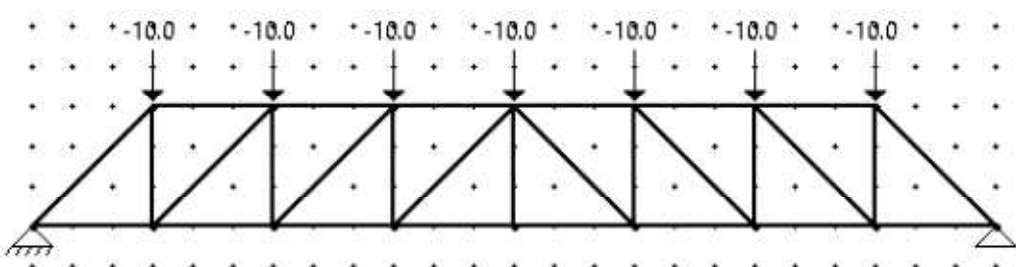
Finalizada a análise no SAP2000, foi feita a modelagem da treliça Howe no SATE, lembrando de que esta análise deve ser feita com a aplicação de toda carga de uma só vez, ou seja, sem dividir a força.

Figura 5.5 - Modelagem a treliça Howe no SATE com carga de 3kN



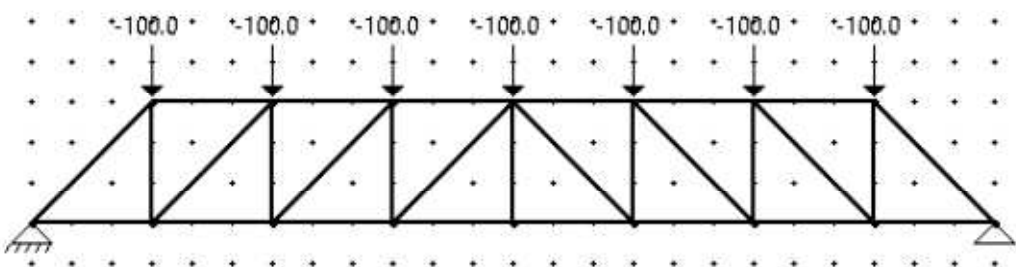
Fonte: Próprio

Figura 5.6 - Modelagem a treliça Howe no SATE com carga de 10kN



Fonte: Próprio

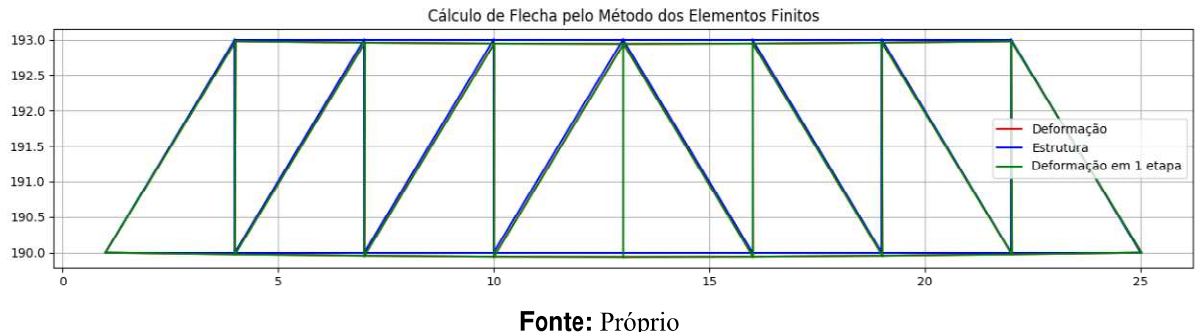
Figura 5.7 - Modelagem a treliça Howe no SATE com carga de 100kN



Fonte: Próprio

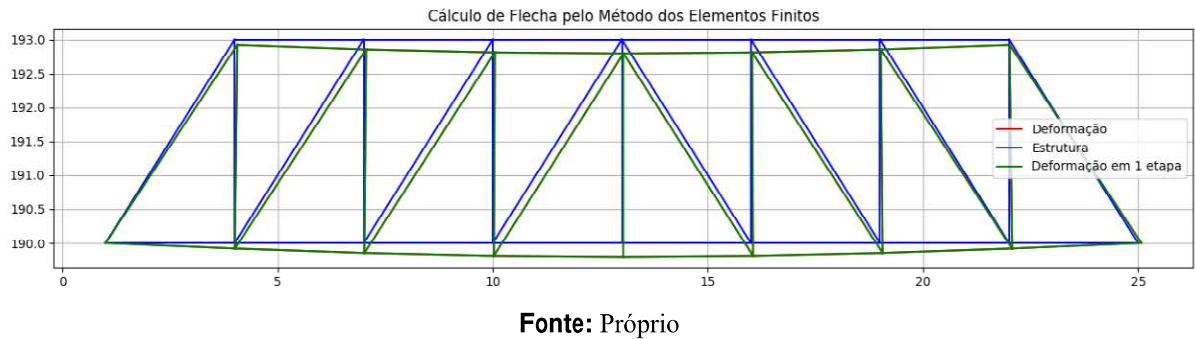
Modelada a treliça e definidas as características das barras, se fez a análise linear utilizando o SATE que resultou nas figuras a seguir.

Figura 5.8 - Deformada da estrutura pelo SATE para $P = 3\text{kN}$



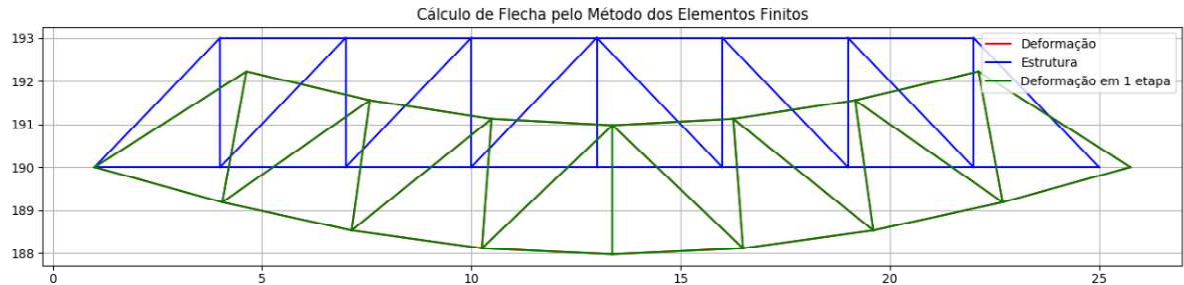
Fonte: Próprio

Figura 5.9 - Deformada da estrutura pelo SATE para $P = 10\text{kN}$



Fonte: Próprio

Figura 5.10 - Deformada da estrutura pelo SATE para $P = 100\text{kN}$



Fonte: Próprio

Os quadros a seguir exibem os valores de flechas de cada software e a diferença percentual entre os dois, para cada uma das cargas.

Quadro 5.1 - Diferença percentual entre as flechas dos softwares para P = 3kN

NÓS	FLECHA SAP2000 (m)		FLECHA SATE (m)		DIFERENÇA (%)	
	X	Y	X	Y	X	Y
Nó A	0,0000	0,0000	0,0000	0,0000	-	-
Nó B	0,0016	-0,0245	0,0016	-0,0245	0,00	0,00
Nó C	0,0189	-0,0234	0,0189	-0,0234	0,00	0,00
Nó D	0,0043	-0,0441	0,0043	-0,0441	0,00	0,00
Nó E	0,0173	-0,0434	0,0173	-0,0434	0,00	0,00
Nó F	0,0077	-0,0566	0,0076	-0,0566	-1,30	0,00
Nó G	0,0146	-0,0564	0,0146	-0,0563	0,00	-0,18
Nó H	0,0113	-0,0608	0,0113	-0,0608	0,00	0,00
Nó I	0,0113	-0,0608	0,0113	-0,0608	0,00	0,00
Nó J	0,0149	-0,0566	0,0148	-0,0566	-0,67	0,00
Nó K	0,0079	-0,0564	0,0079	-0,0563	0,00	-0,18
Nó L	0,0182	-0,0441	0,0182	-0,0441	0,00	0,00
Nó M	0,0052	-0,0434	0,0052	-0,0434	0,00	0,00
Nó N	0,0209	-0,0245	0,0209	-0,0245	0,00	0,00
Nó O	0,0036	-0,0234	0,0036	-0,0234	0,00	0,00
Nó P	0,0225	0,0000	0,0225	0,0000	0,00	-

Fonte: Próprio**Quadro 5.2 - Diferença percentual entre as flechas dos softwares para P = 10kN**

NÓS	FLECHA SAP2000 (m)		FLECHA SATE (m)		DIFERENÇA (%)	
	X	Y	X	Y	X	Y
Nó A	0,0000	0,0000	0,0000	0,0000	-	-
Nó B	0,0053	-0,0816	0,0053	-0,0816	0,00	0,00
Nó C	0,0630	-0,0779	0,0630	-0,0778	0,00	-0,13
Nó D	0,0143	-0,1470	0,0142	-0,1470	-0,70	0,00
Nó E	0,0578	-0,1447	0,0578	-0,1447	0,00	0,00
Nó F	0,0255	-0,1886	0,0255	-0,1886	0,00	0,00
Nó G	0,0488	-0,1879	0,0488	-0,1878	0,00	-0,05

NÓS	FLECHA SAP2000 (m)		FLECHA SATE (m)		DIFERENÇA (%)	
	X	Y	X	Y	X	Y
Nó H	0,0375	-0,2027	0,0375	-0,2027	0,00	0,00
Nó I	0,0375	-0,2027	0,0375	-0,2027	0,00	0,00
Nó J	0,0495	-0,1886	0,0495	-0,1886	0,00	0,00
Nó K	0,0263	-0,1879	0,0263	-0,1878	0,00	-0,05
Nó L	0,0608	-0,1470	0,0607	-0,1470	-0,16	0,00
Nó M	0,0173	-0,1447	0,0173	-0,1447	0,00	0,00
Nó N	0,0689	-0,0816	0,0697	-0,0816	1,16	0,00
Nó O	0,0120	-0,0779	0,0120	-0,0778	0,00	-0,13
Nó P	0,0750	0,0000	0,0750	0,0000	0,00	-

Fonte: Próprio

Quadro 5.3 - Diferença percentual entre as flechas dos softwares para P = 100kN

NÓS	FLECHA SAP2000 (m)		FLECHA SATE (m)		DIFERENÇA (%)	
	X	Y	X	Y	X	Y
Nó A	0,0000	0,0000	0,0000	0,0000	-	-
Nó B	0,0525	-0,8162	0,0525	-0,8160	0,00	-0,02
Nó C	0,6302	-0,7787	0,6300	-0,7785	-0,03	-0,03
Nó D	0,1425	-1,4699	0,1425	-1,4696	0,00	-0,02
Nó E	0,5776	-1,4474	0,5775	-1,4471	-0,02	-0,02
Nó F	0,2551	-1,8862	0,2550	-1,8857	-0,04	-0,03
Nó G	0,4876	-1,8787	0,4875	-1,8782	-0,02	-0,03
Nó H	0,3751	-2,0274	0,3750	-2,0269	-0,03	-0,02
Nó I	0,3751	-2,0274	0,3750	-2,0269	-0,03	-0,02
Nó J	0,4951	-1,8862	0,4950	-1,8857	-0,02	-0,03
Nó K	0,2626	-1,8787	0,2625	-1,8782	-0,04	-0,03
Nó L	0,6077	-1,4699	0,6075	-1,4696	-0,03	-0,02
Nó M	0,1725	-1,4474	0,1725	-1,4471	0,00	-0,02
Nó N	0,6977	-0,8162	0,6975	-0,8160	-0,03	-0,02
Nó O	0,1200	-0,7787	0,1200	-0,7785	0,00	-0,03

NÓS	FLECHA SAP2000 (m)		FLECHA SATE (m)		DIFERENÇA (%)	
	X	Y	X	Y	X	Y
Nó P	0,7502	0,0000	0,7500	0,0000	-0,03	-

Fonte: Próprio

Com posse dos resultados de diferença percentual entre as flechas obtidas em cada software é possível ver que o SATE tem alguns valores com uma pequena diferença percentual em relação ao SAP2000, isso pode ser devido a erros de aproximação ou alguma diferença na aplicação do MEF, entretanto a diferença é muito pequena para ser considerada relevante.

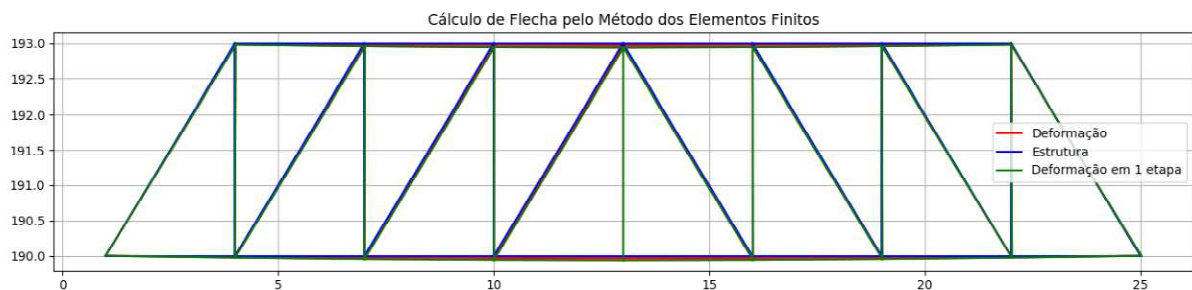
5.2 EFICIÊNCIA DA ANÁLISE NÃO LINEAR DO SATE

A segunda análise comparativa foi feita com a aplicação da carga dividida em 2, 10 e 100 vezes, para cada uma das cargas, dessa forma tem-se:

5.2.1 Aplicação de carga com dois incrementos

- Carga de 3 kN:

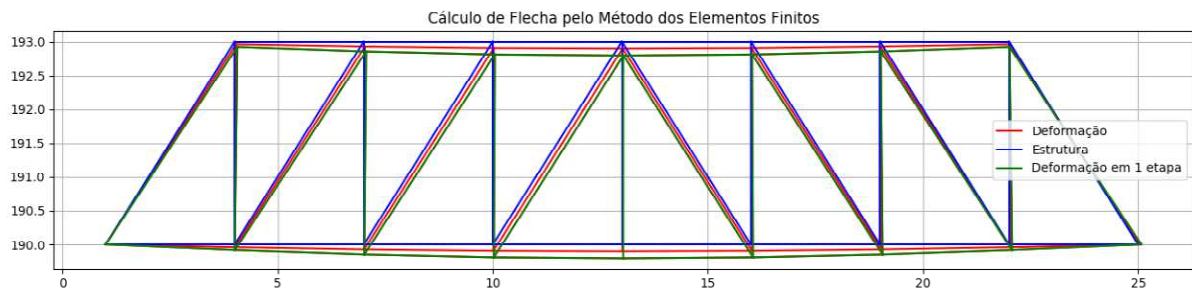
Figura 5.11 - Deformada da estrutura pelo SATE com dois incrementos para $P = 3\text{kN}$



Fonte: Próprio

- Carga de 10 kN:

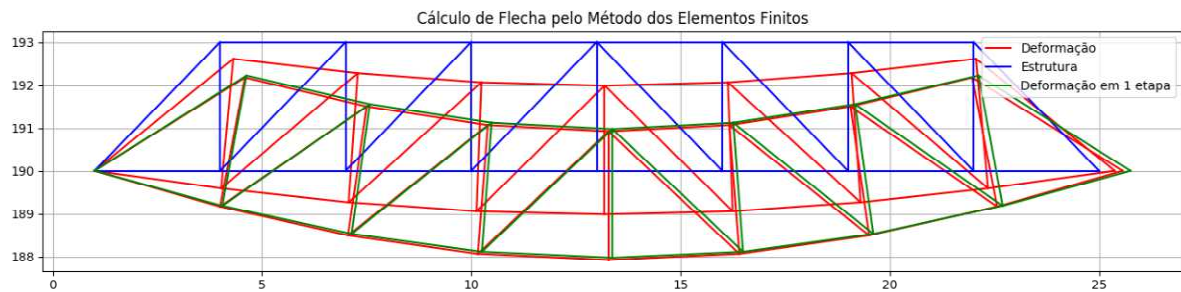
Figura 5.12 - Deformada da estrutura pelo SATE com dois incrementos para P = 10kN



Fonte: Próprio

- Carga de 100 kN:

Figura 5.13 - Deformada da estrutura pelo SATE com dois incrementos para P = 100kN



Fonte: Próprio

Quadro 5.4 - Valores de flechas do SATE para dois incrementos

NÓS	FLECHA PARA 3KN (m)		FLECHA PARA 10KN (m)		FLECHA PARA 100KN (m)	
	X	Y	X	Y	X	Y
Nó A	0,0000	0,0000	0,0000	0,0000	0,0000	0,0000
Nó B	0,0015	-0,0245	0,0047	-0,0818	-0,0011	-0,8338
Nó C	0,0189	-0,0234	0,0626	-0,0783	0,5944	-0,8259
Nó D	0,0042	-0,0441	0,0134	-0,1473	0,0565	-1,5053
Nó E	0,0173	-0,0435	0,0570	-0,1452	0,5029	-1,5008
Nó F	0,0076	-0,0566	0,0246	-0,1890	0,1589	-1,9343

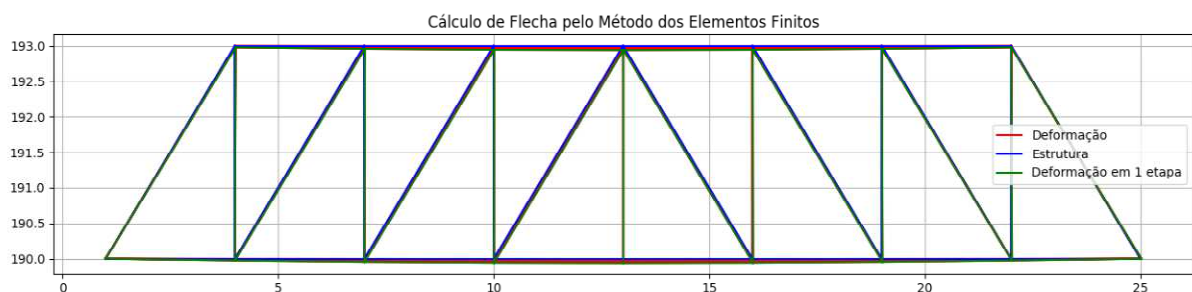
NÓS	FLECHA PARA 3KN		FLECHA PARA 10KN		FLECHA PARA 100KN	
	X	Y	X	Y	X	Y
Nó G	0,0145	-0,0564	0,0479	-0,1883	0,3965	-1,9340
Nó H	0,0112	-0,0608	0,0366	-0,2032	0,2821	-2,0793
Nó I	0,0112	-0,0609	0,0366	-0,2032	0,2821	-2,0821
Nó J	0,0148	-0,0566	0,0486	-0,1890	0,4053	-1,9343
Nó K	0,0078	-0,0564	0,0253	-0,1883	0,1677	-1,9340
Nó L	0,0181	-0,0441	0,0598	-0,1473	0,5078	-1,5053
Nó M	0,0051	-0,0435	0,0162	-0,1452	0,0614	-1,5008
Nó N	0,0208	-0,0245	0,0685	-0,0818	0,5654	-0,8338
Nó O	0,0035	-0,0234	0,0105	-0,0783	-0,0301	-0,8259
Nó P	0,0223	0,0000	0,0732	0,0000	0,5642	0,0000

Fonte: Próprio

5.2.2 Aplicação de carga com dez incrementos

- Carga de 3 kN:

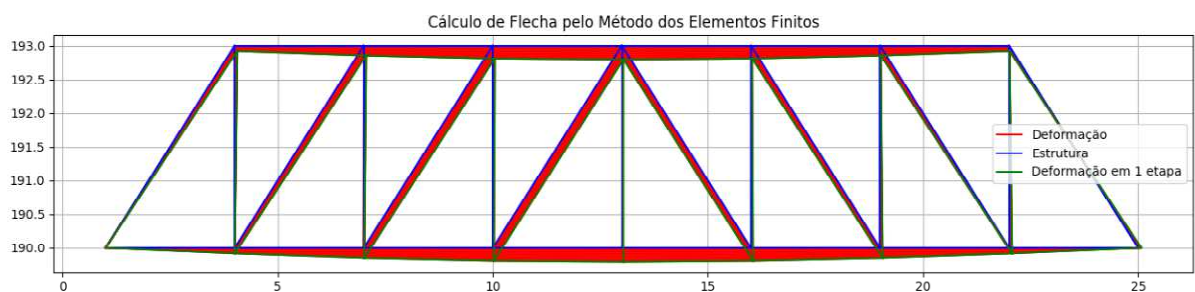
Figura 5.14 - Deformada da estrutura pelo SATE com dez incrementos para $P = 3\text{kN}$



Fonte: Próprio

- Carga de 10 kN:

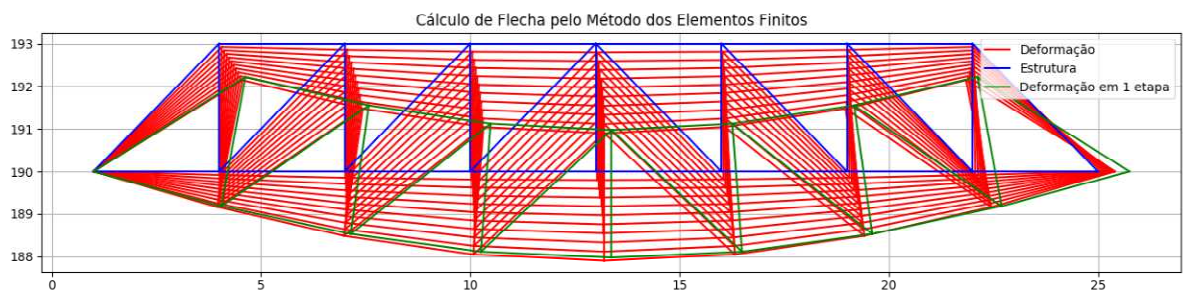
Figura 5.15 - Deformada da estrutura pelo SATE com dez incrementos para $P = 10\text{kN}$



Fonte: Próprio

- Carga de 100 kN:

Figura 5.16 - Deformada da estrutura pelo SATE com dez incrementos para $P = 100\text{kN}$



Fonte: Próprio

Quadro 5.5 - Valores de flechas do SATE para dez incrementos

NÓS	FLECHA PARA 3KN (m)		FLECHA PARA 10KN (m)		FLECHA PARA 100KN (m)	
	X	Y	X	Y	X	Y
Nó A	0,0000	0,0000	0,0000	0,0000	0,0000	0,0000
Nó B	0,0015	-0,0245	0,0043	-0,0819	-0,0464	-0,8357
Nó C	0,0188	-0,0234	0,0623	-0,0786	0,5573	-0,8537
Nó D	0,0041	-0,0441	0,0127	-0,1475	-0,0174	-1,5147
Nó E	0,0172	-0,0435	0,0564	-0,1456	0,4349	-1,5259

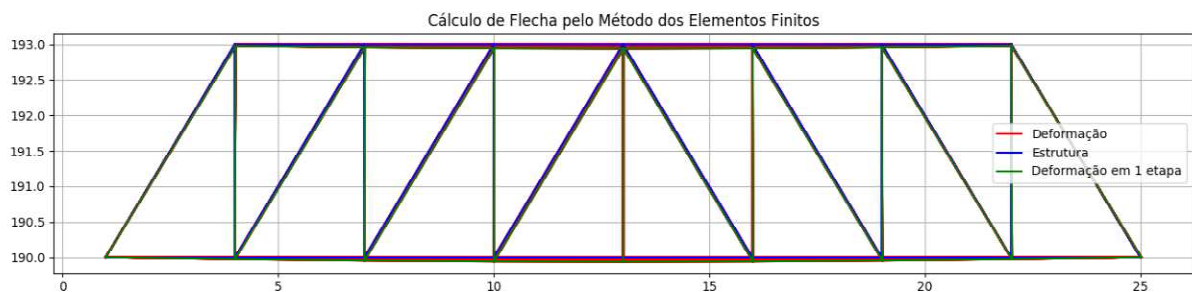
NÓS	FLECHA PARA 3KN (m)		FLECHA PARA 10KN (m)		FLECHA PARA 100KN (m)	
	X	Y	X	Y	X	Y
Nó F	0,0075	-0,0566	0,0238	-0,1893	0,0754	-1,9516
Nó G	0,0145	-0,0564	0,0471	-0,1887	0,3161	-1,9575
Nó H	0,0111	-0,0609	0,0358	-0,2035	0,2008	-2,0991
Nó I	0,0111	-0,0609	0,0358	-0,2036	0,2008	-2,1044
Nó J	0,0147	-0,0566	0,0479	-0,1893	0,3261	-1,9516
Nó K	0,0077	-0,0564	0,0246	-0,1887	0,0854	-1,9575
Nó L	0,0181	-0,0441	0,0590	-0,1475	0,4190	-1,5147
Nó M	0,0050	-0,0435	0,0153	-0,1456	-0,0333	-1,5259
Nó N	0,0207	-0,0245	0,0674	-0,0819	0,4480	-0,8357
Nó O	0,0034	-0,0234	0,0094	-0,0786	-0,1557	-0,8537
Nó P	0,0222	0,0000	0,0717	0,0000	0,4016	0,0000

Fonte: Próprio

5.2.3 Aplicação de carga com cem incrementos

- Carga de 3 kN:

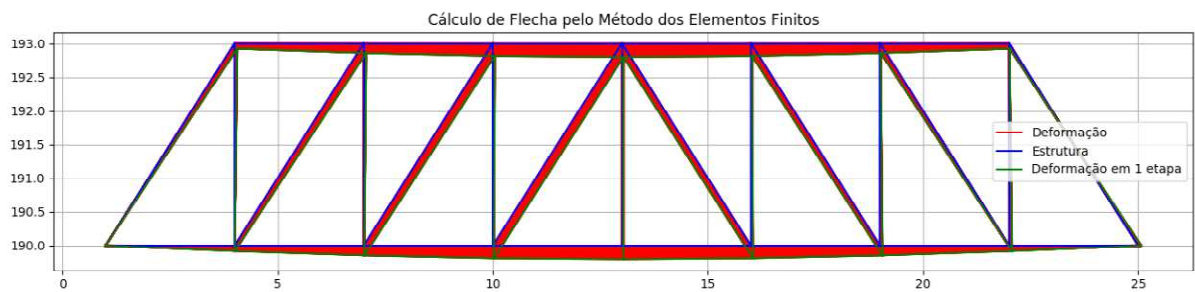
Figura 5.17 - Deformada da estrutura pelo SATE com cem incrementos para $P = 3\text{kN}$



Fonte: Próprio

- Carga de 10 kN:

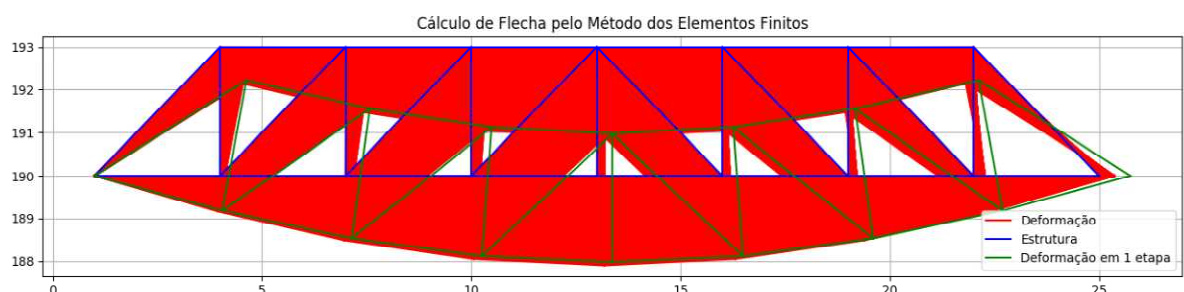
Figura 5.18 - Deformada da estrutura pelo SATE com cem incrementos para P = 10kN



Fonte: Próprio

- Carga de 100 kN:

Figura 5.19 - Deformada da estrutura pelo SATE com cem incrementos para P = 100kN



Fonte: Próprio

Quadro 5.6 - Valores de flechas do SATE para cem incrementos

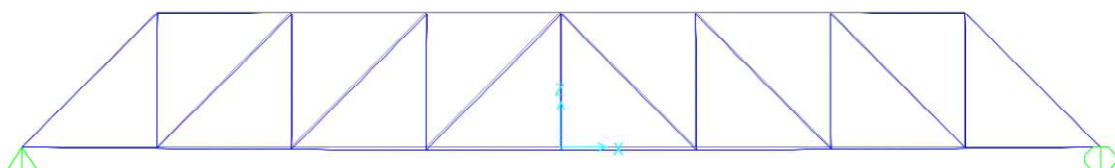
NÓS	FLECHA PARA 3KN (m)		FLECHA PARA 10KN (m)		FLECHA PARA 100KN (m)	
	X	Y	X	Y	X	Y
Nó A	0,0000	0,0000	0,0000	0,0000	0,0000	0,0000
Nó B	0,0015	-0,0245	0,0042	-0,0819	-0,0565	-0,8346
Nó C	0,0188	-0,0234	0,0623	-0,0787	0,5481	-0,8585
Nó D	0,0041	-0,0441	0,0126	-0,1476	-0,0341	-1,5143
Nó E	0,0172	-0,0435	0,0563	-0,1457	0,4190	-1,5290

NÓS	FLECHA PARA 3KN		FLECHA PARA 10KN		FLECHA PARA 100KN	
	X	Y	X	Y	X	Y
Nó F	0,0075	-0,0566	0,0236	-0,1894	0,0564	-1,9526
Nó G	0,0145	-0,0564	0,0470	-0,1888	0,2976	-1,9599
Nó H	0,0111	-0,0609	0,0357	-0,2036	0,1821	-2,1006
Nó I	0,0111	-0,0609	0,0357	-0,2036	0,1821	-2,1065
Nó J	0,0147	-0,0566	0,0477	-0,1894	0,3079	-1,9526
Nó K	0,0077	-0,0564	0,0244	-0,1888	0,0666	-1,9599
Nó L	0,0180	-0,0441	0,0588	-0,1476	0,3984	-1,5143
Nó M	0,0050	-0,0435	0,0151	-0,1457	-0,0548	-1,5290
Nó N	0,0207	-0,0245	0,0672	-0,0819	0,4208	-0,8346
Nó O	0,0033	-0,0234	0,0091	-0,0787	-0,1838	-0,8585
Nó P	0,0222	0,0000	0,0714	0,0000	0,3643	0,0000

Fonte: Próprio

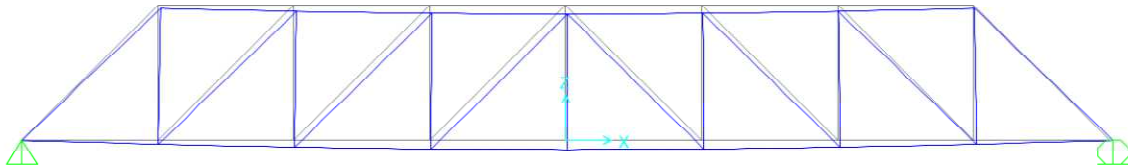
O SAP2000 conta com dois tipos de análises da não linearidade geométrica, a “P-Delta” e a “P-Delta plus Large Displacements”, essa segunda é utilizada quando se tem grandes deslocamentos, que é o caso da flecha resultante da carga de 100kN. Dessa forma foi aplicada a análise “P-Delta” para as cargas de 3 e 10 kN e aplicada a análise “P-Delta plus Large Displacements” para a carga de 100kN.

Figura 5.20 – Deformada da estrutura pela análise não linear do SAP2000 para P = 3kN



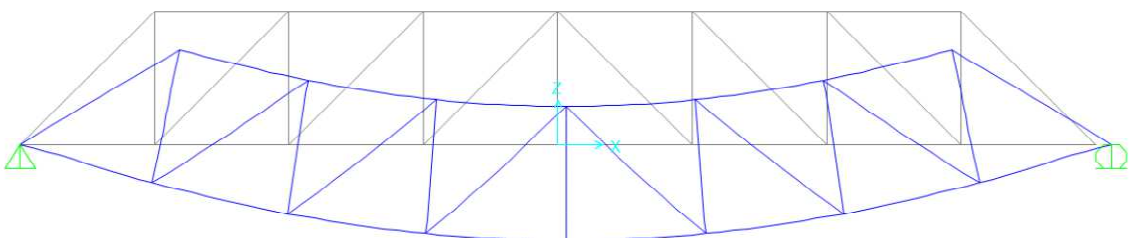
Fonte: SAP2000 V15

Figura 5.21 - Deformada da estrutura pela análise não linear do SAP2000 para P = 10kN



Fonte: SAP2000 V15

Figura 5.22 - Deformada da estrutura pela análise não linear do SAP2000 para P = 100kN



Fonte: SAP2000 V15

Quadro 5.7 - Valores de flechas não lineares do SAP2000

NÓS	FLECHA PARA 3KN		FLECHA PARA 10KN		FLECHA PARA 100KN	
	X	Y	X	Y	X	Y
Nó A	0,0000	0,0000	0,0000	0,0000	0,0000	0,0000
Nó B	0,0016	-0,0245	0,0054	-0,0821	-0,0571	-0,8448
Nó C	0,0190	-0,0234	0,0636	-0,0784	0,5596	-0,8750
Nó D	0,0043	-0,0442	0,0144	-0,1478	-0,0364	-1,5318
Nó E	0,0174	-0,0435	0,0583	-0,1456	0,4265	-1,5526
Nó F	0,0077	-0,0567	0,0258	-0,1896	0,0526	-1,9716
Nó G	0,0147	-0,0565	0,0492	-0,1889	0,2998	-1,9855
Nó H	0,0113	-0,0609	0,0379	-0,2037	0,1770	-2,1132
Nó I	0,0113	-0,0609	0,0379	-0,2038	0,1770	-2,1247
Nó J	0,0149	-0,0567	0,0500	-0,1896	0,3014	-1,9716
Nó K	0,0079	-0,0565	0,0265	-0,1889	0,0543	-1,9855
Nó L	0,0183	-0,0442	0,0613	-0,1478	0,3904	-1,5318
Nó M	0,0052	-0,0435	0,0175	-0,1456	-0,0724	-1,5526

NÓS	FLECHA PARA 3KN		FLECHA PARA 10KN		FLECHA PARA 100KN	
	(m)		(m)		(m)	
	X	Y	X	Y	X	Y
Nó N	0,0210	-0,0245	0,0704	-0,0821	0,4111	-0,8448
Nó O	0,0036	-0,0234	0,0122	-0,0784	-0,2056	-0,8750
Nó P	0,0226	0,0000	0,0758	0,0000	0,3540	0,0000

Fonte: Próprio

Para verificação da eficácia dessa abordagem simplificada da não linearidade geométrica, foi feita a diferença percentual de cada uma das etapas de carga em relação aos resultados obtidos no SAP2000.

Quadro 5.8 - Eficiência do SATE em relação ao SAP2000 para P = 3kN

NÓS	DIFERENÇA PARA DOIS INCREMENTOS DE CARGA (%)		DIFERENÇA PARA DEZ INCREMENTOS DE CARGA (%)		DIFERENÇA PARA CEM INCREMENTOS DE CARGA (%)	
	X	Y	X	Y	X	Y
Nó A	-	-	-	-	-	-
Nó B	-6,25	0,00	-6,25	0,00	-6,25	0,00
Nó C	-0,53	0,00	-1,05	0,00	-1,05	0,00
Nó D	-2,33	-0,23	-4,65	-0,23	-4,65	-0,23
Nó E	-0,57	0,00	-1,15	0,00	-1,15	0,00
Nó F	-1,30	-0,18	-2,60	-0,18	-2,60	-0,18
Nó G	-1,36	-0,18	-1,36	-0,18	-1,36	-0,18
Nó H	-0,88	-0,16	-1,77	0,00	-1,77	0,00
Nó I	-0,88	0,00	-1,77	0,00	-1,77	0,00
Nó J	-0,67	-0,18	-1,34	-0,18	-1,34	-0,18
Nó K	-1,27	-0,18	-2,53	-0,18	-2,53	-0,18
Nó L	-1,09	-0,23	-1,09	-0,23	-1,64	-0,23
Nó M	-1,92	0,00	-3,85	0,00	-3,85	0,00
Nó N	-0,95	0,00	-1,43	0,00	-1,43	0,00

NÓS	DIFERENÇA PARA DOIS INCREMENTOS DE CARGA (%)		DIFERENÇA PARA DEZ INCREMENTOS DE CARGA (%)		DIFERENÇA PARA CEM INCREMENTOS DE CARGA (%)	
	X	Y	X	Y	X	Y
Nó O	-2,78	0,00	-5,56	0,00	-8,33	0,00
Nó P	0,3540	0,0000	-1,77	-	-1,77	-

Fonte: Próprio

Quadro 5.9 - Eficiência do SATE em relação ao SAP2000 para P = 10kN

NÓS	DIFERENÇA COM CARGA APLICADA EM DUAS VEZES (%)		DIFERENÇA COM CARGA APLICADA EM DEZ VEZES (%)		DIFERENÇA COM CARGA APLICADA EM CEM VEZES (%)	
	X	Y	X	Y	X	Y
Nó A	-	-	-	-	-	-
Nó B	-12,96	-0,37	-20,37	-0,24	-22,22	-0,24
Nó C	-1,57	-0,13	-2,04	0,26	-2,04	0,38
Nó D	-6,94	-0,34	-11,81	-0,20	-12,50	-0,14
Nó E	-2,23	-0,27	-3,26	0,00	-3,43	0,07
Nó F	-4,65	-0,32	-7,75	-0,16	-8,53	-0,11
Nó G	-2,64	-0,32	-4,27	-0,11	-4,47	-0,05
Nó H	-3,43	-0,25	-5,54	-0,10	-5,80	-0,05
Nó I	-3,43	-0,29	-5,54	-0,10	-5,80	-0,10
Nó J	-2,80	-0,32	-4,20	-0,16	-4,60	-0,11
Nó K	-4,53	-0,32	-7,17	-0,11	-7,92	-0,05
Nó L	-2,45	-0,34	-3,75	-0,20	-4,08	-0,14
Nó M	-7,43	-0,27	-12,57	0,00	-13,71	0,07
Nó N	-2,70	-0,37	-4,26	-0,24	-4,55	-0,24
Nó O	-13,93	-0,13	-22,95	0,26	-25,41	0,38
Nó P	-3,43	-	-5,41	-	-5,80	-

Fonte: Próprio

Quadro 5.10 - Eficiência do SATE em relação ao SAP2000 para P = 100kN

NÓS	DIFERENÇA COM CARGA APLICADA EM DUAS VEZES (%)		DIFERENÇA COM CARGA APLICADA EM DEZ VEZES (%)		DIFERENÇA COM CARGA APLICADA EM CEM VEZES (%)	
	X	Y	X	Y	X	Y
Nó A	-	-	-	-	-	-
Nó B	-98,07	-1,30	-18,74	-1,08	-1,05	-1,21
Nó C	6,22	-5,61	-0,41	-2,43	-2,06	-1,89
Nó D	-255,22	-1,73	-52,20	-1,12	-6,32	-1,14
Nó E	17,91	-3,34	1,97	-1,72	-1,76	-1,52
Nó F	202,09	-1,89	43,35	-1,01	7,22	-0,96
Nó G	32,25	-2,59	5,44	-1,41	-0,73	-1,29
Nó H	59,38	-1,60	13,45	-0,67	2,88	-0,60
Nó I	59,38	-2,00	13,45	-0,96	2,88	-0,86
Nó J	34,47	-1,89	8,20	-1,01	2,16	-0,96
Nó K	208,84	-2,59	57,27	-1,41	22,65	-1,29
Nó L	30,07	-1,73	7,33	-1,12	2,05	-1,14
Nó M	-184,81	-3,34	-54,01	-1,72	-24,31	-1,52
Nó N	37,53	-1,30	8,98	-1,08	2,36	-1,21
Nó O	-85,36	-5,61	-24,27	-2,43	-10,60	-1,89
Nó P	59,38	-	13,45	-	2,91	-

Fonte: Próprio

Os valores negativos do quadro de eficiência do SATE expressam que os valores de flechas do SATE foram menores em relação ao SAP2000. Após a exibição desses quadros algumas observações podem ser feitas, uma delas é o fato da diferença percentual ser menor para menores cargas, além disso, podemos ver também que quanto maior o número de etapas de aplicação da carga menor a diferença percentual, em especial no eixo Y. Em geral, o eixo X é onde se tem a maior diferença percentual isso se deve também ao fato de que esse eixo é o que tem menores deslocamentos em valores absolutos, fazendo com que mesmo deslocamentos pequenos gerem uma grande diferença percentual.

5.3 DIFERENÇA ENTRE FLECHAS LINEARES E NÃO LINEARES

Agora para a terceira análise comparativa iremos avaliar a diferença percentual entre as flechas calculadas de forma linear e as calculadas de forma não linear geométrica. Essa análise foi feita primeiro para o SATE.

Quadro 5.11 - Comparação entre flechas lineares e não lineares do SATE para P = 3kN

NÓS	DIFERENÇA COM CARGA APLICADA EM DUAS VEZES (%)		DIFERENÇA COM CARGA APLICADA EM DEZ VEZES (%)		DIFERENÇA COM CARGA APLICADA EM CEM VEZES (%)	
	X	Y	X	Y	X	Y
Nó A	-	-	-	-	-	-
Nó B	-6,25	0,00	-6,25	0,00	-6,25	0,00
Nó C	0,00	0,00	-0,53	0,00	-0,53	0,00
Nó D	-2,33	0,00	-4,65	0,00	-4,65	0,00
Nó E	0,00	0,23	-0,58	0,23	-0,58	0,23
Nó F	0,00	0,00	-1,32	0,00	-1,32	0,00
Nó G	-0,68	0,18	-0,68	0,18	-0,68	0,18
Nó H	-0,88	0,00	-1,77	0,16	-1,77	0,16
Nó I	-0,88	0,16	-1,77	0,16	-1,77	0,16
Nó J	0,00	0,00	-0,68	0,00	-0,68	0,00
Nó K	-1,27	0,18	-2,53	0,18	-2,53	0,18
Nó L	-0,55	0,00	-0,55	0,00	-1,10	0,00
Nó M	-1,92	0,23	-3,85	0,23	-3,85	0,23
Nó N	-0,48	0,00	-0,96	0,00	-0,96	0,00
Nó O	-2,78	0,00	-5,56	0,00	-8,33	0,00
Nó P	-0,89	-	-1,33	-	-1,33	-

Fonte: Próprio

Quadro 5.12 - Comparação entre flechas lineares e não lineares do SATE para P = 10kN

NÓS	DIFERENÇA COM CARGA APLICADA EM DUAS VEZES (%)		DIFERENÇA COM CARGA APLICADA EM DEZ VEZES (%)		DIFERENÇA COM CARGA APLICADA EM CEM VEZES (%)	
	X	Y	X	Y	X	Y
Nó A	-	-	-	-	-	-
Nó B	-11,32	0,25	-18,87	0,37	-20,75	0,37
Nó C	-0,63	0,64	-1,11	1,03	-1,11	1,16
Nó D	-5,63	0,20	-10,56	0,34	-11,27	0,41
Nó E	-1,38	0,35	-2,42	0,62	-2,60	0,69
Nó F	-3,53	0,21	-6,67	0,37	-7,45	0,42
Nó G	-1,84	0,27	-3,48	0,48	-3,69	0,53
Nó H	-2,40	0,25	-4,53	0,39	-4,80	0,44
Nó I	-2,40	0,25	-4,53	0,44	-4,80	0,44
Nó J	-1,82	0,21	-3,23	0,37	-3,64	0,42
Nó K	-3,80	0,27	-6,46	0,48	-7,22	0,53
Nó L	-1,48	0,20	-2,80	0,34	-3,13	0,41
Nó M	-6,36	0,35	-11,56	0,62	-12,72	0,69
Nó N	-1,72	0,25	-3,30	0,37	-3,59	0,37
Nó O	-12,50	0,64	-21,67	1,03	-24,17	1,16
Nó P	-2,40	-	-4,40	-	-4,80	-

Fonte: Próprio

Quadro 5.13 - Comparação entre flechas lineares e não lineares do SATE para P = 100kN

NÓS	DIFERENÇA COM CARGA APLICADA EM DUAS VEZES (%)		DIFERENÇA COM CARGA APLICADA EM DEZ VEZES (%)		DIFERENÇA COM CARGA APLICADA EM CEM VEZES (%)	
	X	Y	X	Y	X	Y
Nó A	-	-	-	-	-	-
Nó B	-102,10	2,18	-188,38	2,41	-207,62	2,28
Nó C	-5,65	6,09	-11,54	9,66	-13,00	10,28

NÓS	DIFERENÇA COM CARGA APLICADA EM DUAS VEZES (%)		DIFERENÇA COM CARGA APLICADA EM DEZ VEZES (%)		DIFERENÇA COM CARGA APLICADA EM CEM VEZES (%)	
	X	Y	X	Y	X	Y
Nó D	-60,35	2,43	-112,21	3,07	-123,93	3,04
Nó E	-12,92	3,71	-24,69	5,45	-27,45	5,66
Nó F	-37,69	2,58	-70,43	3,49	-77,88	3,55
Nó G	-18,67	2,97	-35,16	4,22	-38,95	4,35
Nó H	-24,77	2,59	-46,45	3,56	-51,44	3,64
Nó I	-24,77	2,72	-46,45	3,82	-51,44	3,93
Nó J	-18,12	2,58	-34,12	3,49	-37,80	3,55
Nó K	-36,11	2,97	-67,47	4,22	-74,63	4,35
Nó L	-16,41	2,43	-31,03	3,07	-34,42	3,04
Nó M	-64,41	3,71	-119,30	5,45	-131,77	5,66
Nó N	-18,94	2,18	-35,77	2,41	-39,67	2,28
Nó O	-125,08	6,09	-229,75	9,66	-253,17	10,28
Nó P	-24,77	-	-46,45	-	-51,43	-

Fonte: Próprio

Por fim se fez essa mesma análise com os resultados das flechas do SAP2000, o quadro 5.14 mostra a diferença percentual entre os valores de flechas obtidos com análise linear e não linear geométrica.

Quadro 5.14 - Comparação entre flechas lineares e não lineares do SAP2000

NÓS	CARGA DE 3KN (%)		CARGA DE 10KN (%)		CARGA DE 100KN (%)	
	X	Y	X	Y	X	Y
Nó A	-	-	-	-	-	-
Nó B	0,00	0,00	1,89	0,61	-208,76	3,50
Nó C	0,53	0,00	0,95	0,64	-11,20	12,37
Nó D	0,00	0,23	0,70	0,54	-125,54	4,21
Nó E	0,58	0,23	0,87	0,62	-26,16	7,27

NÓS	CARGA DE 3KN (%)		CARGA DE 10KN (%)		CARGA DE 100KN (%)	
	X	Y	X	Y	X	Y
Nó F	0,00	0,18	1,18	0,53	-79,38	4,53
Nó G	0,68	0,18	0,82	0,53	-38,52	5,68
Nó H	0,00	0,16	1,07	0,49	-52,81	4,23
Nó I	0,00	0,16	1,07	0,54	-52,81	4,80
Nó J	0,00	0,18	1,01	0,53	-39,12	4,53
Nó K	0,00	0,18	0,76	0,53	-79,32	5,68
Nó L	0,55	0,23	0,82	0,54	-35,76	4,21
Nó M	0,00	0,23	1,16	0,62	-141,97	7,27
Nó N	0,48	0,00	2,18	0,61	-41,08	3,50
Nó O	0,00	0,00	1,67	0,64	-271,33	12,37
Nó P	0,44	-	1,07	-	-52,81	-

Fonte: Próprio

Percebe-se que a coordenada X é muito variável, em especial para o carregamento de 100kN, isso acontece porque quando a carga é aplicada de uma vez (análise linear) a maioria dos nós é deslocada no sentido positivo do eixo X, já quando é levado em conta a não linearidade geométrica, essa deformação abrupta não ocorre, pelo contrário, a estrutura tem mais tempo de se deformar de modo uniforme, fazendo alguns nós serem deslocados no sentido negativo do eixo X devido a inclinação mais acomodada da estrutura provocada pela rotação, esse fenômeno pode ser facilmente visível observando os nós de qualquer um dos gráficos com não linearidade geométrica apresentados. Além disso, a deformação excessiva do eixo Y, no caso da carga de 100kN, puxa todos os pontos um pouco mais para o sentido negativo do eixo x.

Analizando os quadros pode-se notar também que a diferença percentual de flecha no eixo Y, é maior quanto maior for o número de etapas aplicadas, além disso, essa diferença percentual também aumenta com o aumento da carga aplicada, fato que pode ser observado comparando os resultados para os carregamentos de 3, 10 e 100 kN.

6 CONCLUSÃO

Após a exposição de todos os resultados é possível notar que a não linearidade geométrica não teve um impacto tão relevante para o carregamento de 3kN, onde vemos que a maior diferença percentual do eixo Y foi de 0,23%, isso acontece principalmente devido ao fato da carga e deslocamento serem baixos, nesse tipo de caso a não linearidade pode ser desprezada.

Também vimos que a maior diferença percentual, no eixo Y, entre a análise não linear do SATE e do SAP2000 foi para a carga de 100kN no valor de 1,89%. Já era esperado que houvesse diferença entre os valores do SATE e do SAP2000, uma vez que o SAP2000 usa métodos contínuos enquanto que o SATE usa uma abordagem mais simplificada, apenas dividindo a carga e aplicando após cada deformação da estrutura. Entretanto, talvez esse valor de diferença percentual pudesse ser reduzido ao aumentar o número de divisões em que a carga seria aplicada.

Para grandes deslocamentos a análise da estrutura levando em conta a não linearidade geométrica torna-se praticamente obrigatória, como podemos perceber nas análises não lineares com carga de 100kN, onde a diferença percentual entre os métodos lineares e não lineares chegam à 10,28% no SATE e 12,37% no SAP2000.

Em suma o conceito de análise não linear geométrica é bem aplicado quando utiliza-se a “análise por etapas” que foi aqui explicada e exemplificada. Esse tipo de análise por etapas pode ser muito bem implementada se levarmos em conta as fases de carregamento que acontecem em uma obra, onde existem os carregamentos de peso próprio, de construção, projeto e etc. Sabe-se que para uma estrutura se deformar ela precisa de tempo, então em uma situação real, de nada adiantaria aplicar a carga por etapa, porém com intervalo de tempo muito curto entre as aplicações de cada passo, dessa forma, utilizar as etapas de carregamento prevista para a obra pode otimizar ainda mais a análise por etapas proposta neste trabalho.

REFERÊNCIAS

BENJAMIN, Adilson Carvalho. **Análise não-linear geométrica de pórticos tridimensionais pelo método dos elementos finitos.** Rio de Janeiro, RJ, 1982.

CUNHA, Pedro Filipe de Luna. **Rotinas computacionais para análise não linear geométrica de estruturas reticuladas.** Recife, PE, 2017.

LACERDA, Estéfane George Macedo. **Análise não linear de treliças pelo método dos elementos finitos posicional.** Natal, RN, 2014.

OLIVEIRA, Ricardo Lopes De. **Elaboração de algoritmo com formulação não linear geométrica para o cálculo de treliças tridimensionais.** Campo Mourão, PR, 2015.

PINTO, Rivelli da Silva; RAMALHO, Marcio Antonio. **Não-linearidade física e geométrica no projeto de edifícios usuais de concreto armado.** São Carlos, SP, 2002.

SILVA, Wagner Queiroz. **Sobre análise não linear geométrica de edifícios considerando o empenamento dos núcleos estruturais e a interação solo-estrutura.** São Carlos, SP, 2014.

SOUZA, Luiz Antonio Farani De. **Análise não linear geométrica de treliças planas por meio do método dos elementos finitos.** Maringá, PR, 2015.

VAZ, Luiz Eloy. **Método dos elementos finitos em análise de estruturas.** Rio de Janeiro: Elsevier, 2011.

APÊNDICE A – CÓDIGO FONTE PRINCIPAL (SATE.py)

O código principal é o responsável por capturar todos os dados fornecidos pelo usuário através de uma interface amigável e utilizar o código auxiliar para o cálculo das flechas pelo MEF, também é no código principal onde a força é aplicada em passos, a fim de se implementar a não linearidade geométrica.

```

1 ##### Importanto Bibliotecas Necessárias #####
2 import tkinter
3 import elem_finitos
4 from pylab import *
5
6 ##### Definindo Variáveis e Listas #####
7 MODO=None
8 anterior=False
9 criar_linha=False
10 pos_click=[]
11 linhas=[]
12 E=200000000
13 A=0.0001
14 Grid_x=1
15 Grid_y=1
16 Points=[]
17 Points_ativos=[]
18 Points_selects=[]
19 Points_travados=[]
20 Valor_forca={}
21 Labels_forcas={}
22 Points_forcas=[]
23 Linhas_seletcs=[]
24 Point_Exist=False
25
26 ##### Função Gráfica Responsável pela Interação do Grid ao Movimento
do Mouse #####
27 def Movimento(event):
28     event.x+=hbar.get()[0]*2000
29     event.y+=vbar.get()[0]*2000
30     global anterior
31     x = int(round(event.x/(Grid_x*20),0))
32     y = int(round(event.y/(Grid_y*20),0))
33     tag = "grid%i,%i"%(x,y)
34     p='point%i,%i'%(int(round(event.x/20,0)),int(round(event.y/20,0)))
35     borda=1
36     if p in Points_ativos:
37         tag=p
38         borda=3
39     canvas.itemconfigure(tag,fill='#ff0000',outline='#ff0000',width=borda)
40     if anterior and anterior!=tag:

```

```

41     if anterior in Points_selects:
42         canvas.itemconfigure(anterior,fill='#ff0000',outline='#ff0000',width=borda)
43     else:
44         canvas.itemconfigure(anterior,fill='#000000',outline='#000000',width=1)
45     anterior = tag
46     if criar_linha:
47         canvas.delete(linhas[-1])
48         if p in Points_ativos:
49             canvas.create_line(pos_Click[0],pos_Click[1],int(round(event.x/20,0))*20,int(
50                 round(event.y/20,0))*20,tags=linhas[-1],width=2)
51         else:
52             canvas.create_line(pos_Click[0],pos_Click[1],x*Grid_x*20,y*Grid_y*20,tags=li
nhas[-1],width=2)
53 ##### Função para Seleção e Destaque das Linhas Clicadas
##### 
54 def select2(event):
55     global w,p,x1,y1,e
56     event.x+=hbar.get()[0]*2000
57     event.y+=vbar.get()[0]*2000
58     x=int(round(event.x/20,0))
59     y=int(round(event.y/20,0))
60     e=event
61     tag=event.widget.find_closest(canvas.canvasx(event.x),canvas.canvasy(event.y))[0]
62     if MODO=='select':
63         if canvas.itemcget(tag,'fill')=='red':
64             canvas.itemconfigure(tag,fill='black')
65             Linhas_seletcs.remove(canvas.gettags(tag)[0])
66         elif canvas.itemcget(tag,'fill')=='black':
67             canvas.itemconfigure(tag,fill='red')
68             Linhas_seletcs.append(canvas.gettags(tag)[0])
69 ##### Função para Seleção dos Pontos Clicados #####
70 def select(event):
71     global w,p,x1,y1
72     event.x+=hbar.get()[0]*2000
73     event.y+=vbar.get()[0]*2000
74     x1=event.x
75     y1=event.y
76     p='point%i,%i'%(int(round(event.x/20,0)),int(round(event.y/20,0)))
77     if MODO=='select':
78         if p in Points_ativos:
79             if p in Points_selects:
80                 canvas.itemconfigure(p,fill='#000000',outline='#000000',width=1)
81                 Points_selects.remove(p)
82             else:
83                 canvas.itemconfigure(p,fill='red',outline='red', stipple='',width=3)
84                 Points_selects.append(p)
85 
86 ##### Função Responsável por Desenhar Linhas no Grid #####
87 def PointClick(event):
88     event.x+=hbar.get()[0]*2000
89     event.y+=vbar.get()[0]*2000

```

```

91     global criar_linha, pos_Click, Point_Exist
92     x = int(round(event.x/(Grid_x*20),0))
93     y = int(round(event.y/(Grid_y*20),0))
94     tag_grid = "grid%i,%i"%(x,y)
95     x1=event.x
96     y1=event.y
97     p='point%i,%i'%(int(x*Grid_x),int(y*Grid_y))
98     if MODO== 'draw':
99         if p in Points_ativos:
100             Point_Exist=True
101             if criar_linha:
102                 criar_linha=False
103                 canvas.delete(linhas[-1])
104                 tag='linha%i,%i,%i,%i'%(int(pos_Click[0]/20),int(pos_Click[1]/20),int(x*Grid_x),int(y*Grid_y))
105                 linhas.remove(linhas[-1])
106                 linhas.append(tag)
107                 canvas.create_line(pos_Click[0],pos_Click[1],int(x*Grid_x)*20,int(y*Grid_y)*20,tags=tag,width=2)
108                 canvas.tag_bind(tag, '<ButtonPress-1>', select2)
109                 canvas.tag_lower(tag)
110             else:
111                 criar_linha=True
112                 tag='linha%i,%i,%i,%i'%(int(x*Grid_x),int(y*Grid_y),int(x*Grid_x),int(y*Grid_y))
113                 linhas.append(tag)
114                 canvas.create_line(int(x*Grid_x)*20,int(y*Grid_y)*20,int(x*Grid_x)*20,int(y*Grid_y)*20,tags=tag,width=2)
115                 canvas.tag_bind(tag, '<ButtonPress-1>', select2)
116                 pos_Click=[int(x*Grid_x)*20,int(y*Grid_y)*20]
117                 canvas.tag_lower(tag)
118             else:
119                 Point_Exist=False
120                 if criar_linha:
121                     criar_linha=False
122                     canvas.delete(linhas[-1])
123                     tag='linha%i,%i,%i,%i'%(int(pos_Click[0]/20),int(pos_Click[1]/20),int(x*Grid_x),int(y*Grid_y))
124                     linhas.remove(linhas[-1])
125                     linhas.append(tag)
126                     canvas.create_line(pos_Click[0],pos_Click[1],x*Grid_x*20,y*Grid_y*20,tags=tag,width=2)
127                     canvas.tag_bind(tag, '<ButtonPress-1>', select2)
128                     canvas.create_oval(x*Grid_x*20-1.5,y*Grid_y*20-1.5,x*Grid_x*20+1.5,y*Grid_y*20+1.5,fill='#000000',tags=p)
129                     canvas.tag_lower(tag)
130                     Points_ativos.append(p)
131             else:
132                 criar_linha=True
133                 tag='linha%i,%i,%i,%i'%(int(x*Grid_x),int(y*Grid_y),int(x*Grid_x),int(y*Grid_y))
134                 linhas.append(tag)
135                 canvas.create_line(x*Grid_x*20,y*Grid_y*20,x*Grid_x*20,y*Grid_y*20,ta

```

```

gs=tag,width=2)
136         canvas.tag_bind(tag, '<ButtonPress-1>', select2)
137         canvas.create_oval(x*Grid_x*20-1.5,y*Grid_y*20-
1.5,x*Grid_x*20+1.5,y*Grid_y*20+1.5,fill='#000000',tags=p)
138         canvas.tag_lower(tag)
139         Points_ativos.append(p)
140         pos_Click=[x*Grid_x*20,y*Grid_y*20]
141
142 ##### Função que Define o Espaçamento do Grid #####
143 def aplicar_grid():
144     global Grid_x,Grid_y
145     Grid_x=var3.get()
146     Grid_y=var4.get()
147     CreateGrid()
148
149 ##### Função que Define as Características da Treliça #####
150 def aplicar_material():
151     global E,A
152     E=var1.get()
153     A=var2.get()
154
155 ##### Função que Aplica o Espaçamento do Grid Definido
#####
156 def CreateGrid():
157     global Points
158     for i in Points:
159         canvas.delete(i)
160     Points=[]
161     for i in range(100):
162         for j in range(100):
163             tag="grid%i,%i"%(i,j)
164             canvas.create_oval(i*Grid_x*20-1,j*Grid_y*20-
1,i*Grid_x*20+1,j*Grid_y*20+1,fill='#000000',tags=tag)
165             Points.append(tag)
166
167 ##### Função que Exclui o Grid #####
168 def RemoverGrid():
169     global Points
170     for i in Points:
171         canvas.delete(i)
172     Points=[]
173
174 ##### Função que Ativa o Modo de Seleção #####
175 def selecionar():
176     global MODO
177     MODO='select'
178     bt_select.configure(background='lightgreen')
179     bt_draw.configure(background='SystemButtonFace')
180     canvas.bind('<Button-1>',select)
181
182 ##### Função que Ativa o Modo de Desenho #####
183 def desenhar():
184     global MODO

```

```

185     MODO='draw'
186     bt_draw.configure(background='lightgreen')
187     bt_select.configure(background='SystemButtonFace')
188     canvas.bind('<Button-1>',PointClick)
189
190 ##### Função que Cancela a Criação de uma Linha (associado a tecla
191 "ESC")
192 ##### Função que Aplica as Forças nos Nós da Treliça Selecionados
193
194 def Cancelar(event):
195     global criar_linha
196     if criar_linha:
197         criar_linha=False
198         canvas.delete(linhas[-1])
199         linhas.remove(linhas[-1])
200         if not Point_Exist:
201             canvas.delete(Points_ativos[-1])
202             Points_ativos.remove(Points_ativos[-1])
203             rem=list(Points_selects)
204             for p in rem:
205                 canvas.itemconfigure(p,fill='#000000',outline='#000000')
206                 Points_selects.remove(p)
207             rem=list(Linhas_seletcs)
208             for p in rem:
209                 canvas.itemconfigure(p,fill='black')
210                 Linhas_seletcs.remove(p)
211
212 ##### Função que Carrega os dados da Treliça
213
214 def carregamento():
215     try:
216         f=var6.get()
217         if f!=0:
218             for i in Points_selects:
219                 l=[int(j) for j in i[5:].split(',')]
220                 fx='ForçaX%i,%i'%(l[0],l[1])
221                 lx='LabelX%i,%i'%(l[0],l[1])
222                 if fx in Points_forcas:
223                     rem_carregamento(fx,lx)
224                     if f<0:
225                         canvas.create_polygon(l[0]*20+3,l[1]*20,l[0]*20+3+5,l[1]*20-
226                         5,l[0]*20+3+5,l[1]*20,l[0]*20+25+3,l[1]*20,l[0]*20+5+3,l[1]*20,l[0]*20+5+3,
227                         l[1]*20+5,l[0]*20+3,l[1]*20,tags=fx,fill='#000000',outline='#000000')
228                         canvas.create_text(l[0]*20+30+3+len(str(f))*3,l[1]*20,text=str(f),ta-
229                         g=lx)
230                         Valor_forca[fx]=f
231                         Points_forcas.append(fx)
232                     elif f>0:
233                         canvas.create_polygon(l[0]*20-3,l[1]*20,l[0]*20-5-3,l[1]*20-
234                         5,l[0]*20-5-3,l[1]*20,l[0]*20-25-3,l[1]*20,l[0]*20-5-3,l[1]*20,l[0]*20-5-
235                         3,l[1]*20+5,l[0]*20-3,l[1]*20,tags=fx,fill='#000000',outline='#000000')
236                         canvas.create_text(l[0]*20-30-3-
237                         len(str(f))*3,l[1]*20,text=str(f),tag=lx)
238                         Valor_forca[fx]=f
239                         Points_forcas.append(fx)

```

```

230     else:
231         for i in Points_selects:
232             I = [int(j) for j in i[5:].split(',')]
233             fx='ForçaX%i,%i'%(I[0],I[1])
234             ly='LabelX%i,%i'%(I[0],I[1])
235             if fx in Points_forcas:
236                 rem_carregamento(fx,ly)
237     except:None
238     try:
239         f=var5.get()
240         if f!=0:
241             for i in Points_selects:
242                 I = [int(j) for j in i[5:].split(',')]
243                 fy='ForçaY%i,%i'%(I[0],I[1])
244                 ly='LabelY%i,%i'%(I[0],I[1])
245                 if fy in Points_forcas:
246                     rem_carregamento(fy,ly)
247                     if f<0:
248                         canvas.create_polygon(I[0]*20,I[1]*20-3,I[0]*20-5,I[1]*20-5-
249                         3,I[0]*20,I[1]*20-5-3,I[0]*20,I[1]*20-25-3,I[0]*20,I[1]*20-5-3,I[0]*20+5,I[1]*20-
250                         5-3,I[0]*20,I[1]*20-3,tags=fy,fill='#000000',outline='#000000')
251                         canvas.create_text(I[0]*20-len(str(f))/2,I[1]*20-35-
252                         3,text=str(f),tag=ly)
253                         Valor_forca[fy]=f
254                         Points_forcas.append(fy)
255                     elif f>0:
256                         canvas.create_polygon(I[0]*20,I[1]*20-25-3,I[0]*20-5,I[1]*20-20-
257                         3,I[0]*20,I[1]*20-20-3,I[0]*20,I[1]*20-3,I[0]*20,I[1]*20-20-3,I[0]*20+5,I[1]*20-
258                         20-3,I[0]*20,I[1]*20-25-3,tags=fy,fill='#000000',outline='#000000')
259                         canvas.create_text(I[0]*20-len(str(f))/2,I[1]*20-35-
260                         3,text=str(f),tag=ly)
261                         Valor_forca[fy]=f
262                         Points_forcas.append(fy)
263                     else:
264                         for i in Points_selects:
265                             I = [int(j) for j in i[5:].split(',')]
266                             fy='ForçaY%i,%i'%(I[0],I[1])
267                             ly='LabelY%i,%i'%(I[0],I[1])
268                             if fy in Points_forcas:
269                                 rem_carregamento(fy,ly)
270     except:None
271     ##### Função que Remove as Forças nos Nós da Treliça Selecionados #####
272     def remover_carregamento():
273         for i in Points_selects:
274             I = [int(j) for j in i[5:].split(',')]
275             fx='ForçaX%i,%i'%(I[0],I[1])
276             fy='ForçaY%i,%i'%(I[0],I[1])
277             ly='LabelX%i,%i'%(I[0],I[1])
278             lx='LabelY%i,%i'%(I[0],I[1])
279             rem_carregamento(fx,ly)
280             rem_carregamento(fy,ly)

```

```

276
277 ##### Complemento da Função "remover_carregamento"
#####
278 def rem_carregamento(f,l):
279     try:
280         canvas.delete(f)
281         canvas.delete(l)
282         Valor_forca.pop(f)
283     except:None
284
285 ##### Função que Insere Apoios nos Pontos Selecionados
#####
286 def apoioP():
287     x=var_x.get()
288     y=var_y.get()
289     pontos=[j[0] for j in Points_travados]
290     genero=[j[1] for j in Points_travados]
291     if x and y:
292         for i in Points_selects:
293             l = [int(j) for j in i[5:].split(',')]
294             if i in pontos:
295                 canvas.delete('Apoio%{i},{i}%({l[0]},{l[1]}%)')
296                 Points_travados.remove([i,genero[pontos.index(i)]])
297                 canvas.create_polygon(l[0]*20,l[1]*20,l[0]*20-10,l[1]*20+10,l[0]*20-
298 13,l[1]*20+14,l[0]*20-10,l[1]*20+10,l[0]*20-5,l[1]*20+10,l[0]*20-
299 8,l[1]*20+14,l[0]*20-5,l[1]*20+10,l[0]*20,l[1]*20+10,l[0]*20-
300 3,l[1]*20+14,l[0]*20,l[1]*20+10,l[0]*20+5,l[1]*20+10,l[0]*20+2,l[1]*20+14,l[0]-
301 *20+5,l[1]*20+10,l[0]*20+10,l[1]*20+10,l[0]*20+7,l[1]*20+14,l[0]*20+10,l[1]*20-
302 +10,tags='Apoio%{i},{i}%({l[0]},{l[1]}%),fill="#ffffff",outline="#000000")
303             Points_travados.append([i,'xy'])
304             canvas.tag_lower('Apoio%{i},{i}%({l[0]},{l[1]}%)')
305         elif y:
306             for i in Points_selects:
307                 l = [int(j) for j in i[5:].split(',')]
308                 if i in pontos:
309                     canvas.delete('Apoio%{i},{i}%({l[0]},{l[1]}%)')
310                     Points_travados.remove([i,genero[pontos.index(i)]])
311                     canvas.create_polygon(l[0]*20,l[1]*20,l[0]*20-
312 10,l[1]*20+10,l[0]*20+10,l[1]*20+10,tags='Apoio%{i},{i}%({l[0]},{l[1]}%),fill="#ffffff",outline="#000000")
313                     Points_travados.append([i,'y'])
314                     canvas.tag_lower('Apoio%{i},{i}%({l[0]},{l[1]}%)')
315         elif x:
316             for i in Points_selects:
317                 l = [int(j) for j in i[5:].split(',')]
318                 if i in pontos:

```

319 ##### Função Principal, Responsável por Extrair os Dados Necessários da Interface e Repassar para o Algoritmo Secundário "elem_finitos", que irá Aplicar o MEF. Os Gráficos de Deformação Também são Gerados Aqui #####

```

320 def Calcular():
321     tamanho_Fonte=var_Fonte.get()
322     Nome_Colunas=[ "X", "Y", "X", "Y", "X", "Y"]
323     Cor_Colunas=[ "blue", "blue", "red", "red", "green", "green"]
324     Dados=[[[],[],[],[],[],[]]]
325     modulo=lambda no1,no2: ((no2[0]-no1[0])**2+(no1[1]-no2[1])**2)**(1/2)
326     global flexa,coord,conect,travados,Forcas,E,A
327     Num_etapas=var_etapas.get()
328     coord=[]
329     for i in Points_ativos:
330         pos=canvas.coords(i)
331         coord.append([int(round((pos[0]+pos[2])/(2*20),0)),200-
int(round((pos[1]+pos[3])/(2*20),0))])
332         coord.sort()
333         conect=[]
334         for i in linhas:
335             pos=canvas.coords(i)
336             conecc=[coord.index([int(round(pos[0]/(20),0)),200-
int(round(pos[1]/(20),0))])+1,coord.index([int(round(pos[2]/(20),0)),200-
int(round(pos[3]/(20),0))])+1]
337             conecc.sort()
338             conect.append(conecc)
339         travados=[]
340         for i in Points_travados:
341             pos=canvas.coords(i[0])
342             ind=coord.index([int(round((pos[0]+pos[2])/(2*20),0)),200-
int(round((pos[1]+pos[3])/(2*20),0))])
343             if i[1]=='xy':
344                 travados.append(ind*2)
345                 travados.append(ind*2+1)
346             elif i[1]=='x':
347                 travados.append(ind*2)
348             elif i[1]=='y':
349                 travados.append(ind*2+1)
350             Forcas=[0]*len(coord)*2
351             Forcas2=[0]*len(coord)*2
352             for i in coord:
353                 fx='ForçaX%i,%i'%(i[0],(200*Grid_x-i[1]))
354                 fy='ForçaY%i,%i'%(i[0],(200*Grid_y-i[1]))
355                 try:
356                     Forcas[coord.index(i)*2]=Valor_forca[fx]/Num_etapas
357                     Forcas2[coord.index(i)*2]=Valor_forca[fx]
358                 except:
359                     Forcas[coord.index(i)*2]=0
360                     Forcas2[coord.index(i)*2]=0
361                 try:
362                     Forcas[coord.index(i)*2+1]=Valor_forca[fy]/Num_etapas
363                     Forcas2[coord.index(i)*2+1]=Valor_forca[fy]
364                 except:
365                     Forcas[coord.index(i)*2+1]=0

```

```

366     Forcas2[coord.index(i)*2+1]=0
367     deformou=False
368     for i in coord:
369         Dados[0].append(i[0])
370         Dados[1].append(i[1])
371     list_A=[A]*len(conect)
372     for i in range(Num_etapas):
373         list_L=[]
374         for i in conect:
375             no1=coord[i[0]-1]
376             no2=coord[i[1]-1]
377             list_L.append(modulo(no1,no2))
378             flexa=elem_finitos.principal(coord,conect,E,list_A,travados,Forcas)
379             cont=0
380             for i in range(len(coord)):
381                 for j in range(len(coord[0])):
382                     if 2*i+j not in travados:
383                         coord[i][j]-=flexa[cont]
384                         cont+=1
385             list_A2=[]
386             for i in conect:
387                 no1=coord[i[0]-1]
388                 no2=coord[i[1]-1]
389                 L=modulo(no1,no2)
390                 list_A2.append(list_A[conect.index(i)]*list_L[conect.index(i)]/L)
391             list_A=list(list_A2)
392             x=[[coord[i[0]-1][0],coord[i[1]-1][0]] for i in conect]
393             y=[[coord[i[0]-1][1],coord[i[1]-1][1]] for i in conect]
394             if deformou==False:
395                 plot(x[0],y[0],label='Deformação',color='red')
396                 for i in range(1,len(x)):
397                     plot(x[i],y[i],color='red')
398                     deformou=True
399             else:
400                 for i in range(len(x)):
401                     plot(x[i],y[i],color='red')
402             for i in coord:
403                 Dados[2].append(i[0])
404                 Dados[3].append(i[1])
405             coord=[]
406             for i in Points_ativos:
407                 pos=canvas.coords(i)
408                 coord.append([int(round((pos[0]+pos[2])/(2*20),0)),200-
409                 int(round((pos[1]+pos[3])/(2*20),0))])
410             coord.sort()
411             list_A=[A]*len(conect)
412             x=[[coord[i[0]-1][0],coord[i[1]-1][0]] for i in conect]
413             y=[[coord[i[0]-1][1],coord[i[1]-1][1]] for i in conect]
414             plot(x[0],y[0],label='Estrutura',color='blue')
415             for i in range(1,len(x)):
416                 plot(x[i],y[i],color='blue')
417             flexa2=elem_finitos.principal(coord,conect,E,list_A,travados,Forcas2)
418             cont=0

```

```

418 for i in range(len(coord)):
419     for j in range(len(coord[0])):
420         if 2*i+j not in travados:
421             coord[i][j]=flexa2[cont]
422             cont+=1
423 x=[[coord[i[0]-1][0],coord[i[1]-1][0]] for i in conect]
424 y=[[coord[i[0]-1][1],coord[i[1]-1][1]] for i in conect]
425 plot(x[0], y[0],label='Deformação em 1 etapa',color='green')
426 for i in range(1,len(x)):
427     plot(x[i], y[i],color='green')
428 for i in coord:
429     Dados[4].append(i[0])
430     Dados[5].append(i[1])
431 Celulas=[]
432 for i in range(len(Dados[0])):
433     Celulas.append([])
434     for j in range(len(Dados)):
435         Celulas[i].append(Dados[j][i])
436 tabela=table(cellText=Celulas,rowLabels=['Nó
'+str(i+1) for i in range(len(Celulas))],colColours=Cor_Colunas,colLabels=Nome_Colunas,loc
='bottom')
437 tabela.auto_set_font_size(False)
438 tabela.set_fontsize(tamanho_Fonte)
439 tabela.scale(1,2)
440 subplots_adjust(left=0.05,right=0.99, bottom=0.60,top=0.96)
441 legend()
442 title('Cálculo de Flecha pelo Método dos Elementos Finitos')
443 grid(True)
444 show()
445
446 ##### Função que Remove Apoios nos Pontos Selecionados
#####
447 def Remover_apoio():
448     pontos=[j[0] for j in Points_travados]
449     genero=[j[1] for j in Points_travados]
450     for i in Points_selects:
451         l = [int(j) for j in i[5:]:split(',')]
452         tag='Apóio%i,%i'%(l[0],l[1])
453         if i in pontos:
454             canvas.delete(tag)
455             Points_travados.remove([i,genero[pontos.index(i)]])
456
457 ##### Função que Remove Pontos, Apoios e Linhas (associado a tecla
"DELETE" ou "DEL" #####
458 def Deletar(event):
459     print(Points_selects,Points_ativos)
460     def point_alone(p):
461         pontos=[j[0] for j in Points_travados]
462         genero=[j[1] for j in Points_travados]
463         l = [int(j) for j in p.split(',')]
464         fx='ForçaX%i,%i'%(l[0],l[1])
465         fy='ForçaY%i,%i'%(l[0],l[1])
466         lx='LabelX%i,%i'%(l[0],l[1])

```

```

467     ly='Label%i,%i'%(l[0],l[1])
468     rem_carregamento(fx,lx)
469     rem_carregamento(fy,ly)
470     tag='Apoio%i,%i'%(l[0],l[1])
471     if 'point'+p in pontos:
472         canvas.delete(tag)
473         Points_travados.remove(['point'+p,genero[pontos.index('point'+p)]])
474     count=0
475     for i in linhas:
476         if p == i[11:] or p==i[5:10]:
477             count+=1
478     if count==0:
479         canvas.delete('point'+p)
480         Points_ativos.remove('point'+p)
481 global linhas
482 rem=[]
483 rem_p=[]
484 for i in Linhas_seletcs:
485     rem.append(i)
486 remover_carregamento()
487 Remover_apoio()
488 for i in Points_selects:
489     for j in linhas:
490         if i[5:]==j[11:] or i[5:]==j[5:10]:
491             rem.append(j)
492             canvas.delete(i)
493             rem_p.append(i)
494 for i in rem_p:
495     Points_selects.remove(i)
496     Points_ativos.remove(i)
497 for k in set(rem):
498     linhas.remove(k)
499     canvas.delete(k)
500     if k in Linhas_seletcs:
501         Linhas_seletcs.remove(k)
502     try:point_alone(k[11:])
503     except:None
504     try:point_alone(k[5:10])
505     except:None
506
507 ##### Função que Reseta o Grid, Voltando a Configuração Original
508 #####
509 def Resetar():
510     global E,A,Grid_x,Grid_y,Point_Exist,MODO,anterior,criar_linha,Points_selects
511     for i in linhas:
512         canvas.delete(i)
513     for i in Points_ativos:
514         canvas.delete(i)
515     Points_selects=list(Points_ativos)
516     remover_carregamento()
517     Remover_apoio()
518     E=200000000
519     A=0.0001

```

```

519     Grid_x=1
520     Grid_y=1
521     Point_Exist=False
522     linhas.clear()
523     Points_ativos.clear()
524     Points_selects.clear()
525     Points_travados.clear()
526     MODO=None
527     anterior=False
528     criar_linha=False
529     bt_draw.configure(background='SystemButtonFace')
530     bt_select.configure(background='SystemButtonFace')
531     var1.set(E)
532     var2.set(A)
533     var3.set(Grid_x)
534     var4.set(Grid_y)
535     var5.set(0.0)
536     var6.set(0.0)
537     var_x.set(False)
538     var_y.set(False)
539     var_etapas.set(1)
540     var_Fonte.set(9)
541
542 ##### Declaração de Toda Interface Gráfica, como Botões, Textos,
Caixas de Entrada de Texto, Menu, e etc. #####
543 tk = tkinter.Tk()
544 tk.title('SATE')
545 f=tkinter.Frame(tk)
546 f2=tkinter.Frame(f)
547 tools=tkinter.Frame(f,width=400)
548 propriedades_material=tkinter.Frame(tools,width=400)
549 propriedades_grid=tkinter.Frame(tools,width=400)
550 propriedades_carregamento=tkinter.Frame(tools,width=400)
551 labels_material=tkinter.Frame(propriedades_material,width=400)
552 labels_grid=tkinter.Frame(propriedades_grid,width=400)
553 labels_carregamento=tkinter.Frame(propriedades_carregamento,width=400)
554 entrys_material=tkinter.Frame(propriedades_material,width=400)
555 entrys_grid=tkinter.Frame(propriedades_grid,width=400)
556 entrys_carregamento=tkinter.Frame(propriedades_carregamento,width=400)
557 bts_carregamento=tkinter.Frame(tools,width=400)
558 fonte_Frame=tkinter.Frame(tools,width=400)
559 fonte_Texto=tkinter.Label(fonte_Frame,text='Fonte da Tabela')
560 lb_modo=tkinter.Label(tools,text='MODO')
561 bts_modo=tkinter.Frame(tools,width=400)
562 lb_material=tkinter.Label(tools,text='MATERIAL')
563 lb_grid=tkinter.Label(tools,text='GRID')
564 lb_carregamento=tkinter.Label(tools,text='CARREGAMENTO')
565 lb_apoio=tkinter.Label(tools,text='APOIOS')
566 lb_executar=tkinter.Label(tools,text='Nº de Aplicações')
567 label1=tkinter.Label(labels_material,text='E (kPa): ')
568 label2=tkinter.Label(labels_material,text='A (m²): ')
569 label3=tkinter.Label(labels_grid,text='X (m): ')
570 label4=tkinter.Label(labels_grid,text='Y (m): ')

```

```

571 label5=tkinter.Label(labels_carregamento,text='FY(kN): ')
572 label6=tkinter.Label(labels_carregamento,text='FX(kN): ')
573 var1=tkinter.DoubleVar(tk)
574 var1.set(E)
575 var2=tkinter.DoubleVar(tk)
576 var2.set(A)
577 var3=tkinter.DoubleVar(tk)
578 var3.set(Grid_x)
579 var4=tkinter.DoubleVar(tk)
580 var4.set(Grid_y)
581 var5=tkinter.DoubleVar(tk)
582 var6=tkinter.DoubleVar(tk)
583 var_Fonte=tkinter.DoubleVar(tk)
584 var_Fonte.set(9)
585 caixa_Fonte=tkinter.Entry(fonte_Frame,textvar=var_Fonte)
586 Caixa1=tkinter.Entry(entrys_material,textvar=var1)
587 Caixa2=tkinter.Entry(entrys_material,textvar=var2)
588 Caixa3=tkinter.Entry(entrys_grid,textvar=var3)
589 Caixa4=tkinter.Entry(entrys_grid,textvar=var4)
590 Caixa5=tkinter.Entry(entrys_carregamento,textvar=var5)
591 Caixa6=tkinter.Entry(entrys_carregamento,textvar=var6)
592 bt_grid=tkinter.Button(tools,text='Aplicar Grid',command=aplicar_grid)
593 bt_material=tkinter.Button(tools,text='Aplicar Material',command=aplicar_material)
594 bt_draw=tkinter.Button(bts_modo,text='Desenhar',command=desenhar)
595 bt_select=tkinter.Button(bts_modo,text='Selecionar',command=selecionar)
596 bts_apoios=tkinter.Frame(tools,width=400)
597 bt_apoio1=tkinter.Button(bts_apoios,text='Inserir Apoio',command=apoioP)
598 bt_apoioRemove=tkinter.Button(bts_apoios,text='Remover',command=Remover_apoio)
599 bt1_carregamento=tkinter.Button(bts_carregamento,text='Inserir
Força',command=carregamento)
600 bt2_carregamento=tkinter.Button(bts_carregamento,text='Remover',command=remover_c
arregamento)
601 bts_main=tkinter.Frame(tools,width=400)
602 bt_calcular=tkinter.Button(bts_main,text='Calcular',command=Calcular,width=8,height=
2)
603 bt_restar=tkinter.Button(bts_main,text='Resetar',command=Resetar,width=8,height=2
)
604 var_etapas=tkinter.IntVar(tk)
605 var_etapas.set(1)
606 caixa_etapas=tkinter.Entry(tools,textvar=var_etapas)
607 var_x=tkinter.BooleanVar(tk)
608 var_y=tkinter.BooleanVar(tk)
609 checks_apoio=tkinter.Frame(tools,width=400)
610 check_x=tkinter.Checkbutton(checks_apoio,text='x', variable=var_x,font='Times 12')
611 check_y=tkinter.Checkbutton(checks_apoio,text='y', variable=var_y,font='Times 12')
612 canvas = tkinter.Canvas(f2,background='white',scrollregion=(0,0,2000,2000))
613 hbar=tkinter.Scrollbar(f2,orient='horizontal')
614 vbar=tkinter.Scrollbar(f2,orient='vertical')
615 hbar.config(command=canvas.xview)
616 vbar.config(command=canvas.yview)
617 hbar.pack(side='bottom',fill='x')
618 vbar.pack(side='right',fill='y')
619 CreateGrid()

```

```
620 tk.bind('<Escape>',Cancelar)
621 tk.bind('<Delete>',Deletar)
622 canvas.bind('<Button-1>',PointClick)
623 canvas.bind('<Motion>',Movimento)
624 canvas.config(width=2000,height=2000)
625 canvas.config(xscrollcommand=hbar.set, yscrollcommand=vbar.set)
626 canvas.pack(side='right',fill='both',expand=True)
627
628 ##### Declaração da Posição Onde cada Elemento Gráfico Ficará
######
629 tools.pack(side='left',fill='y',expand=True)
630 lb_modo.pack()
631 bts_modo.pack()
632 lb_apoio.pack()
633 checks_apoio.pack()
634 check_x.pack(side='left')
635 check_y.pack(side='left')
636 bts_apoios.pack()
637 bt_apoio1.pack(side='left')
638 bt_apoioRemove.pack(side='left')
639 lb_material.pack()
640 propriedades_material.pack()
641 bt_material.pack()
642 lb_grid.pack()
643 propriedades_grid.pack()
644 bt_grid.pack()
645 lb_carregamento.pack()
646 propriedades_carregamento.pack()
647 labels_material.pack(side='left')
648 entrys_material.pack(side='left')
649 labels_grid.pack(side='left')
650 entrys_grid.pack(side='left')
651 labels_carregamento.pack(side='left')
652 entrys_carregamento.pack(side='left')
653 bts_carregamento.pack()
654 bt1_carregamento.pack(side='left')
655 bt2_carregamento.pack(side='left')
656 bt_draw.pack(side='left')
657 bt_select.pack(side='left')
658 fonte_Frame.pack()
659 lb_executar.pack()
660 caixa_etapas.pack()
661 bts_main.pack()
662 bt_calcular.pack(side='left')
663 bt_resetar.pack(side='left')
664 label1.pack()
665 label2.pack()
666 label3.pack()
667 label4.pack()
668 label5.pack()
669 label6.pack()
670 Caixa1.pack()
671 Caixa2.pack()
```

```
672 Caixa3.pack()
673 Caixa4.pack()
674 Caixa5.pack()
675 Caixa6.pack()
676 f.pack(fill='both',expand=True)
677 f2.pack(fill='both',expand=True)
678 fonte_Texto.pack()
679 caixa_Fonte.pack()
680 tools.configure(width=400)
681
682 ##### Configuração para Maximizar a Janela ao Iniciar #####
683 tk.state('zoomed')
684
685 ##### Loop Principal do Programa #####
686 tk.mainloop()
```

APÊNDICE B – CÓDIGO FONTE AUXILIAR (elem_finitos.py)

O código auxiliar é o responsável pela implementação do Método dos Elementos Finitos, ele trabalha com matrizes e faz uso da equação (3.38) para a correta implementação do método.

```

1 ##### Importando Bibliotecas Necessárias #####
2 import numpy
3
4 ##### Função para Definir uma Matriz Vazia #####
5 def zeros(linha,coluna):
6     matriz=[]
7     for i in range(linha):
8         matriz.append([])
9         for j in range(coluna):
10            matriz[i].append(0)
11    return matriz
12
13 ##### Função Módulo para se Obter o Comprimento das Barras#####
14 modulo=lambda no1,no2: ((no2[0]-no1[0])**2+(no1[1]-no2[1])**2)**(1/2)
15
16 ##### Função Principal Responsável pelo Calculo das Flechas Utilizando o
17 # MEF #####
18 def principal(coord,conect,E,list_A,travados,Forcas):
19     global matriz,M_forcas,inversa
20     nn=len(coord)
21     nel=len(conect)
22     ngl=2*nn
23     kg=zeros(ngl,ngl)
24     for i in conect:
25         no1=coord[i[0]-1]
26         no2=coord[i[1]-1]
27         L=modulo(no1,no2)
28         cos=(no2[0]-no1[0])/L
29         sen=(no2[1]-no1[1])/L
30         Ke=[[cos**2,cos*sen,-(cos**2),-cos*sen],[cos*sen,sen**2,-cos*sen,-
31         (sen**2)],[-(cos**2),-cos*sen,cos**2,cos*sen],[-cos*sen,-(sen**2),cos*sen,se
32         n**2]]*E*list_A[conect.index(i)]/L*q
33         for q in p:
34             for p in Ke:
35                 m1=(2*i[0]-1)-1
36                 m2=(2*i[0])-1
37                 m3=(2*i[1]-1)-1
38                 m4=(2*i[1])-1
39                 lista=[m1,m2,m3,m4]
40                 for j in lista:
41                     for k in lista:
42                         kg[j][k]+=Ke[[lista.index(j)][[lista.index(k)]]]
```

```
41 inversa=numpy.linalg.inv(matriz)
42 M_forcas=numpy.delete(numpy.array(Forcas),travados,0)
43 M_forcas=M_forcas*-1
44 flexa=numpy.matmul(inversa,M_forcas)
45 return flexa
```